



50 anys del làser.

Aplicacions quotidianes i científiques

Ramon Vilaseca



Departament de Física i Enginyeria Nuclear
Campus de Terrassa (Barcelona)



50 anys del làser...





A) Introducció

- Motivació
- Història; emissió estimulada.

B) L'interior del làser

- Parts d'un làser i principis de funcionament.
- Tipus de làser segons el medi amplificador: gas, líquid, estat sòlid, semi-conductor, etc.
- Paper jugat pel ressonador òptic.

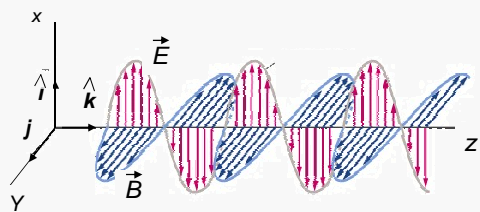
C) L'exterior del làser: radiació làser

- Dimensions dels làsers
- Propietats de la radiació làser

D) Aplicacions científiques i tècniques (present i futur)



Què és la llum ?



$$\left\{ \begin{array}{l} \vec{E}(z,t) = \hat{i} E \cos(kz - \omega t + \varphi) \\ \vec{B}(z,t) = \hat{j} B \cos(kz - \omega t + \varphi) \end{array} \right.$$

$$B = E/v$$

Space

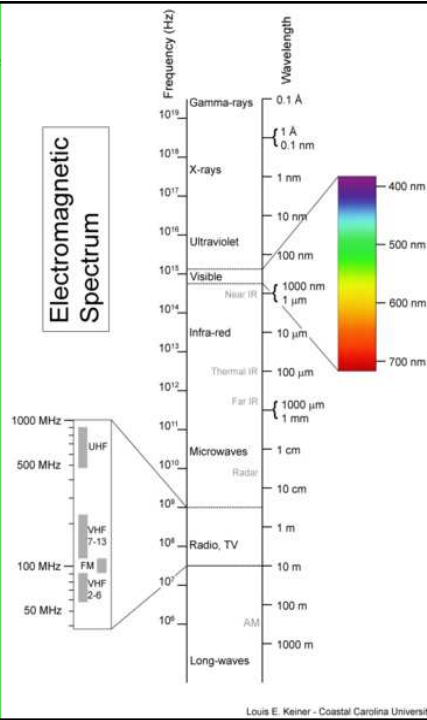
- ✧ Wavelength: λ
- ✧ Wavenumber: $k = 2\pi / \lambda$

Time

- ✧ Period: T
- ✧ Frequency: $\nu = 1 / T$
- ✧ Angular frequency: $\omega = 2\pi \nu$
- ✧ Initial phase: φ



Electromagnetic Spectrum



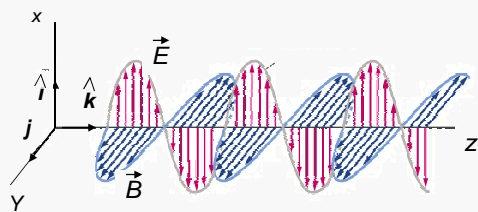
Louis E. Keiser - Coastal Carolina University

From: Wikipedia



Introducció: Motivació

Quina diferència hi ha entre la llum làser i els altres tipus de llum?

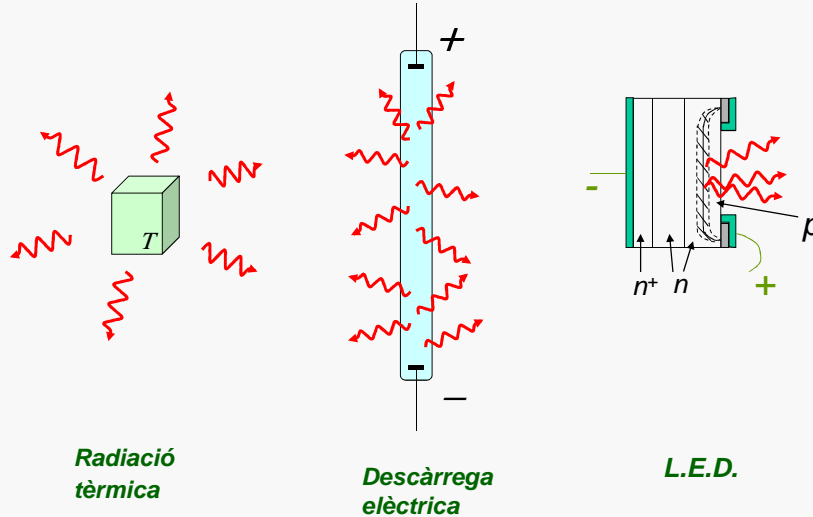


$$\left\{ \begin{array}{l} \vec{E}(z,t) = \hat{i} E \cos(kz - \omega t + \phi) \\ \vec{B}(z,t) = \hat{j} B \cos(kz - \omega t + \phi) \end{array} \right.$$

$B = E/v$

Altres fonts de llum:

- Radiació tèrmica (sol, bombetes de filament, cossos calents,...)
- Làmpades de descàrrega (tubs fluorescents, làmpades de baix consum)
- LED's
- Reacció química



Introducció: Història del làser

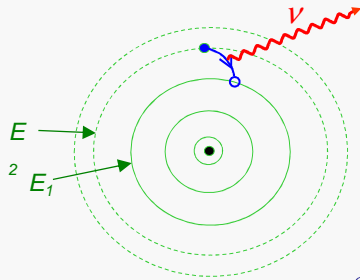
“Light Amplification by Stimulated Emission of Radiation”

- ◆ **1917.- Einstein: concept of stimulated emission**
- ◆ **1949-51.- Kastler: optical pumping** [Nobel Prize in 1966]
- ◆ **1954.- Townes: first MASER** (at Columbia University) [$\lambda=1$ cm, power=10 nW]
- ◆ **1956.- Bloembergen: first solid-state Maser** (at Harvard University)
- ◆ **1957.- Gould: ideas about a laser; first use of the acronym “laser”** (Columbia Univ. grad. student)
- ◆ **1958.- Schawlow, Townes: theore. predictions about Laser** (Bell Labs) (Phys. Rev. Lett.)
Basov and Prokhorov: work on how to build a laser (URSS)
- ◆ **1959-1960.- Beginning of a 30-year Laser patent dispute!, between Gould (at TRG company) and Townes-Schawlow (at Bell Labs)** [also dispute with Fabrikant –at Moscow Power Institute-: he applied for a patent in URSS in 1951, it was approved in 1959].
- ◆ **1960 (May, 16).- Maiman: first LASER (Rubi)** (at Hughes Research Laboratories, Calif.) [3-level laser]
Nature 187, 493-494 (1960) [no word “laser”; only 240 words; PRL rejected it]

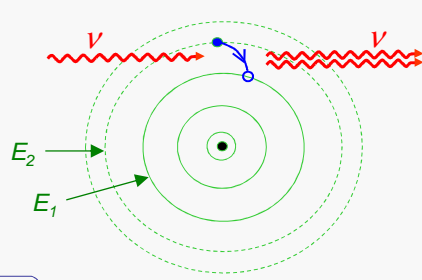


Fenòmens bàsics que permeten la generació de llum:

Emissió espontània



Emissió estimulada



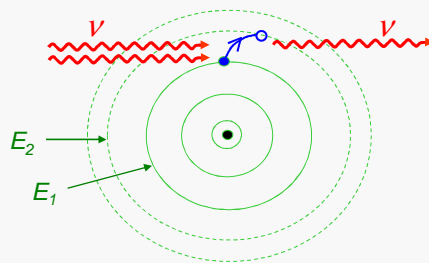
$$E_2 - E_1 = h \cdot \nu$$

$h \cdot \nu$ = energia d'un "fotó"



Fenòmen bàsic que permet la detecció de la llum:

Absorció



$$E_2 - E_1 = h \cdot \nu$$



“Light Amplification by Stimulated Emission of Radiation”

- ◆ **1917.- Einstein: concept of stimulated emission**
- ◆ **1949-51.- Kastler: optical pumping** [Nobel Prize in 1966]
- ◆ **1954.- Townes: first MASER** (at Columbia University) [$\lambda=1$ cm, power=10 nW]
- ◆ **1956.- Bloembergen: first solid-state Maser** (at Harvard University)
- ◆ **1957.- Gould: ideas about a laser; first use of the acronym “laser”** (Columbia Univ. grad. student)
- ◆ **1958.- Schawlow, Townes: theoret. predictions about Laser** (Bell Labs) (Phys. Rev. Lett.)
Basov and Prokhorov: work on how to build a laser)
- ◆ **1959-1960.- Beginning of 30-year Laser patent dispute!** between Gould (at TRG) and Townes-Schawlow (at Bell Labs)
- ◆ **1960 (May, 16).- Maiman: first LASER (Rubi)** (at Hughes Research Laboratories, Calif.) [3-level laser]
Nature 187, 493-494 (1960) [no word “laser”; only 240 words; PRL rejected it]



- ◆ **1960 (May, 16).- Maiman: first laser (Rubi)** (at Hughes Research Laboratories, Calif.) [3-level laser]
- ◆ **1960 (Nov).- Uranium laser :Sorokin & Stevenson** (at IBM Research Center) [solid-state, 4-level]
- ◆ **1960 (Dec).- He-Ne Laser: Javan, Bennet, Herriot** (at Bell Labs) [first cw laser, $\lambda=1.15$ μm]
- ◆ **1961.- Lasers appear in commercial market** (Trion Instr., Perkin-elmer, Spectra-Physics,...)
- ◆ **1961 (Nov).- Nd:Glass laser.- Snitzer** (American Optical Co.)
- ◆ **1961 (Dec).- 1st medical treatment** (destroying retinal tumor with a rubi laser)
- ◆ **1962.- Q-switching in rubi laser: Hellwarth, McClung** (Hughes Research Labs) [theory in 1961]
- ◆ **1962.- GaAs Semiconductor laser** (homojunction, cryogenically cooled) [GE, IBM & MIT’s Lincoln Lab]
- ◆ **1962.- YAG laser** (at Bell Labs.)
- ◆ **1962.- GaAsP visible-red laser diode (basis of present LEDs)** (Holonya,k at GE Co. Lab)
- ◆ **1962.- First paper on Nonlinear Optics** (Armstrong, Bloembergen, Ducuing and Pershan)
- ◆ **1963.- First mode-locked laser** (He-Ne laser with acousto-optic modulator)
- ◆ **1963.- \$1 million annual sales commercial laser market**
- ◆ **1963.- Heterostructure semiconductor laser idea** (Kroemer –Univ. California- & Alferov -Russia-).
Nobel Prize awarded later.
- ◆ **1963.- N₂ laser** (confirm)

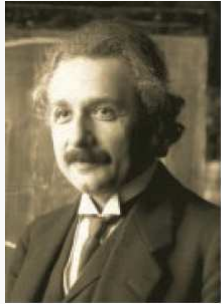


- ◆ 1964.- Ar⁺ (pulsed), Kr⁺, CO₂, Nd:YAG (Bell Labs) ,
- ◆ 1964.- Nobel Prize to Townes, Basov and Prokhorov
- ◆ 1965.- Chemical laser (HCl, $\lambda=3.7 \mu\text{m}$)
- ◆ 1966.- Dye laser (tunable)
- ◆ 1970.- Excimer laser and cw room-temperature semiconductor laser
- ◆ 1972.- Quantum-well semiconductor laser
- ◆ 1976.- Free-electron laser
- ◆ 1981.- Nobel Prize to Schawlow and Bloembergen (laser spectroscopy)
- ◆ 1982.- Ti:Sapphire laser (tunable)
- ◆ 1986.- Fibre laser (Er-doped, single-mode, cw)
- ◆ 1994.- Quantum-cascade laser (multiple λ 's) , and quantum-dot laser
- ◆ 1996.- Pulsed atom laser (matter instead of light)
- ◆ 1996.- InGaN blue laser diode (semiconductor, $\lambda = 417 \text{ nm}$)



- ◆ 2004-07.- Towards a Si laser: Si Raman laser and electr. powered hybrid Si laser, ...
- ◆ 2009.- NIF (National Ignition Facility, at LLNL): 192 laser beams firing onto targets.
- ◆ 2009-10.- Intel's Light Peak fiber optic technology.
- ◆ 2009 (Dec.).- Prediction of 11% laser market growth for 2010; total revenue \$5.9 billion.
- ◆ 2010 (Jan.).- NIF delivers enough laser energy to achieve fusion ignition: 1MJ in a few nanoseconds [peak power 500 times larger than any previous one in USA]
- ◆ 2010 (March).- Single-atom laser (with and without threshold) [Univ. of Innsbruck]
-
-
-

THUS TECHNICAL, AND EVEN FUNDAMENTAL, DEVELOPMENT CONTINUES...



Albert Einstein

Wikimedia Commons



Charles H. Townes, 1954

AP Photo



Nikolai G. Basov

Wikimedia Commons



Alexander M. Prokhorov

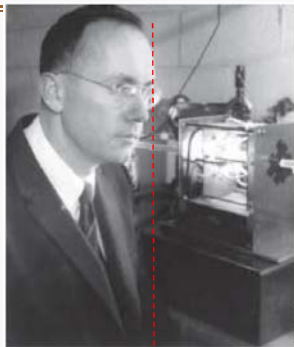
Wikimedia Commons



50 anys del làser...



Theodore Maiman, 1960



Charles H. Townes, 1954

AP Photo



Arthur Schawlow

AP Photo/Paul Sizama

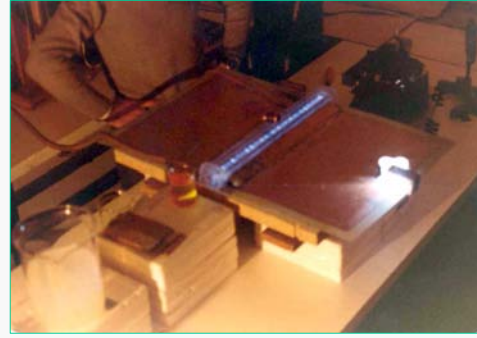


Charles H. Townes, 2010



Primer làser construït a Barcelona...

Làser de N₂, Universitat Autònoma de Barcelona, curs 1979-80



LASERS: Sumari

A) Introducció

- Motivació
- Història; emissió estimulada.

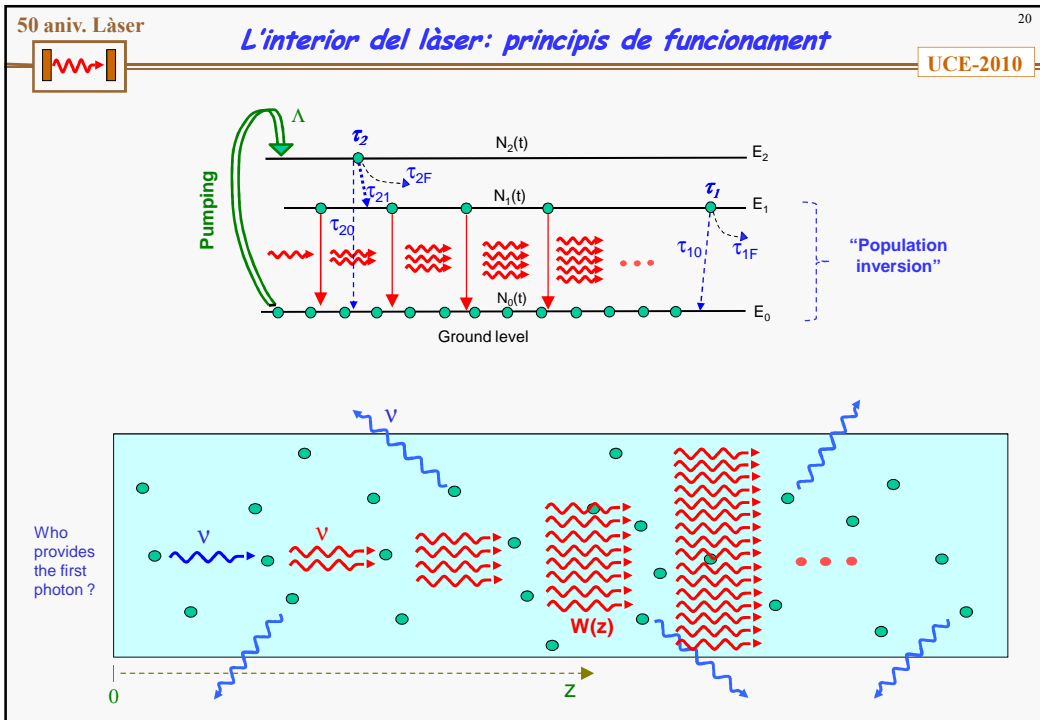
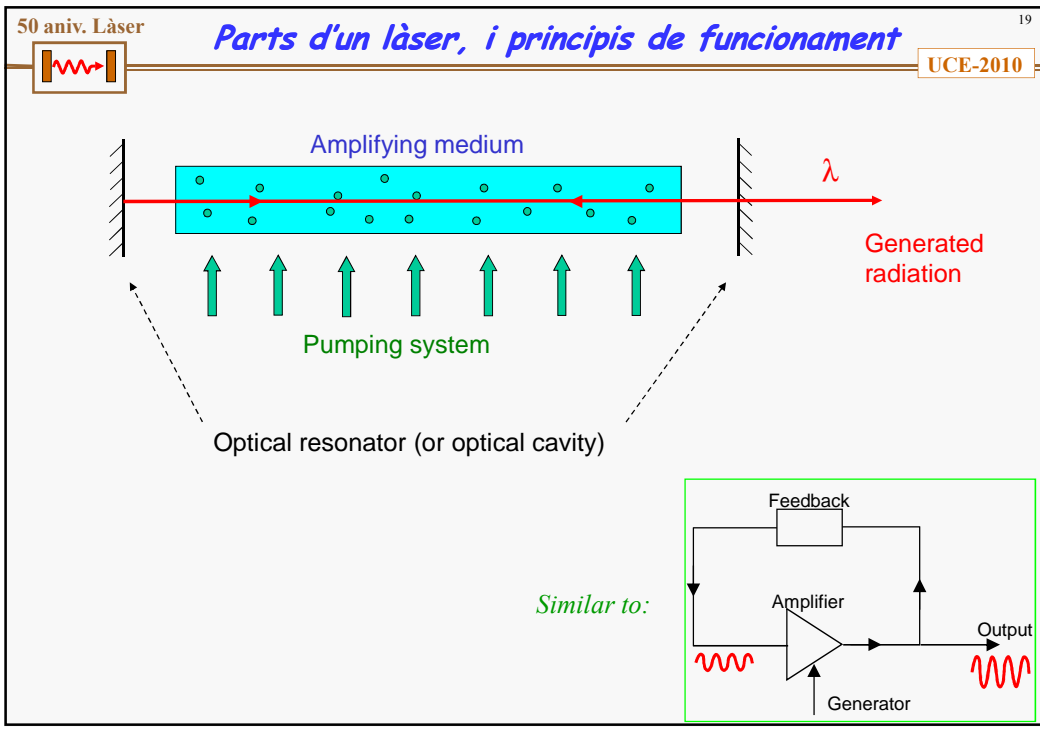
B) L'interior del làser

- Parts d'un làser i principis de funcionament.
- Tipus de làser segons el medi amplificador: gas, líquid, estat sòlid, semiconductor, etc.
- Paper jugat pel ressonador òptic.

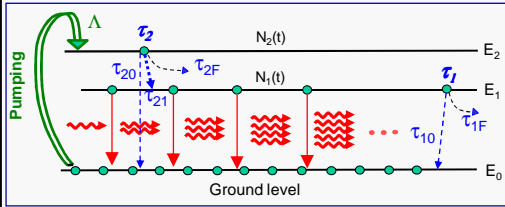
C) L'exterior del làser: radiació làser

- Dimensions dels làsers
- Propietats de la radiació làser

D) Aplicacions científiques i tècniques (present i futur)

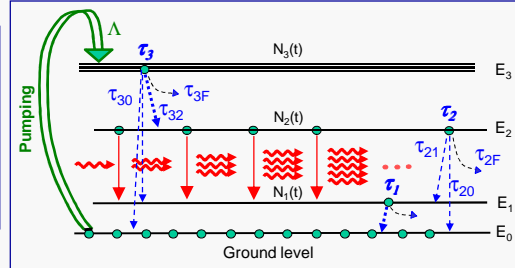


“Three-level” configurations

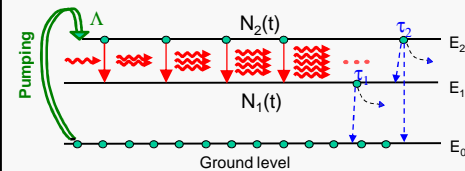


Conditions to achieve population inversion: $\begin{cases} \tau_{21} \ll \tau_{20}, \tau_{2F} \\ \tau_{21} \ll \tau_1 \end{cases}$

“Four-level” configuration



Conditions to achieve population inversion: $\begin{cases} \tau_{32} \ll \tau_{31}, \tau_{30}, \tau_{3F}, \tau_2 \\ \tau_1 \ll \tau_2 \end{cases}$ (for cw operation)



LASERS: TYPES OF AMPLIFYING MEDIUM

a) GAS

- ♦ **Atoms:** He-Ne, He-Cd, Cu.
- ♦ **Ions:** Ar⁺, Kr⁺.
- ♦ **Molecules:** Electronic (vibronic) transitions: Excimer, N₂.
Vibrational transitions: CO₂, CO, **chemical lasers**.
Rotacional transitions: NH₃, CH₃OH, CH₃F.

b) LIQUID

- ♦ **Dye laser:** Rhodamin 6G, coumarin,

c) SOLID STATE

- ♦ **Doped crystal:** Rubi, Nd:YAG, Nd:Glass, Ti:Sapphire, Alexandrite, Microxips, microlasers
- ♦ **Optical fiber:** Er³⁺:Silicon (Er³⁺:SiO₂)
- ♦ **Others:** Color centres, ...

d) SEMICONDUCTOR (DIODE LASERS)

- ♦ **Near infrared:** AlGaAs, InGaAsP
- ♦ **Visible:** GaNP, AlGaN, GaP
- ♦ **Mid infrared:** ...
- ♦ **Other types:** VCSEL's, "arrays", high power, ...

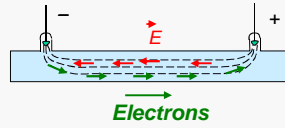
e) OTHERS

- ♦ Free electron laser, ♦ X Ray, ♦ Random lasers, ♦ Quantum dot lasers, ♦ Nanolasers, ♦ Single-atom lasers

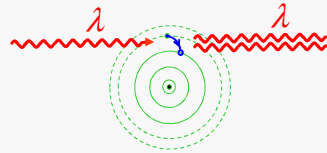
B) GAS LASERS: Atomic or ionic



• Pumping: electrical discharge



• Electronic transitions ($\lambda \sim \text{VIS, near IR}$)



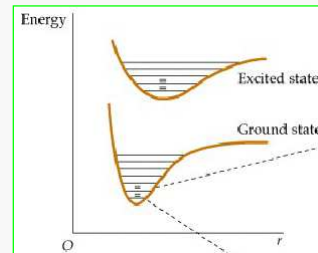
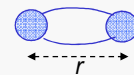
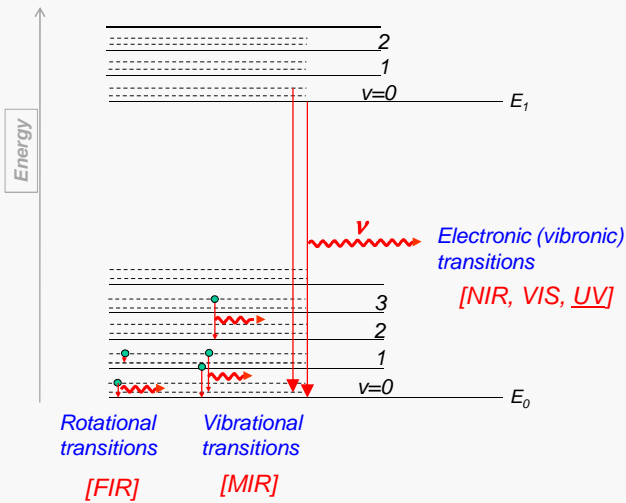
Examples:

- <u>He-Ne laser</u> :	$\lambda = 632,8 \text{ nm (red)}$,	$\eta \leq 0.1\%$,	4-level scheme, reinforced
- <u>Cu laser</u> :	$\lambda = 510 \text{ nm (green)}$,	$\eta \sim 1\%$,	3-level scheme (modified)
	578 nm (yellow)		
- <u>Ar⁺ laser</u> :	$\lambda = 488,0 \text{ nm (blue)}$,	$\eta < 1\%$,	4-level scheme (modified)
	$514,5 \text{ nm (green), ...}$		
- <u>Kr⁺ laser</u> :	$\lambda = 647,1 \text{ nm (red)}$,	$\eta < 0.1\%$	4-level scheme (modified)

B) GAS LASERS: Molecular



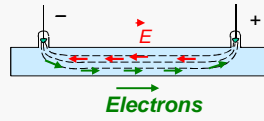
Energy levels for a (simple) molecule :



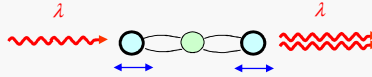
B) GAS LASERS: Molecular (vibrational transition)



- Pumping: electrical discharge, or chemical reaction



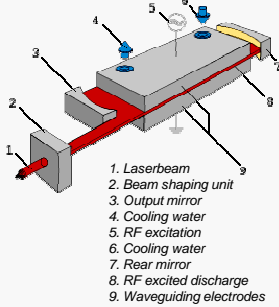
- $\lambda \sim \text{MIR}$



Examples:

- **CO₂ laser**: $\lambda = 10,6 \mu\text{m}$, $\eta \sim 10\text{-}25\%$, 4-level scheme, reinforced
- **CO laser**: $\lambda \sim 5 \mu\text{m}$, $\eta \sim 20\text{-}30\%$, 4-level scheme, modified
- **HF* laser**: $\lambda = 2.7\text{-}3.3 \mu\text{m}$, $\eta_{\text{quim.}} \sim \text{high}$, Chemical reaction: $F + H_2 \rightarrow \text{HF}^* + H$

CO₂ "Slab" laser



Can it propagate through an optical fiber?: **No** (Why?)

	ROFIN DC 010	ROFIN DC 015	ROFIN DC 020	ROFIN DC 025
Excitation	HF	HF	HF	HF
Output power	1000 W	1500 W	2000 W	2500 W
Power range	100-1000 W	150-1500 W	200-2000 W	250-2500 W
Beam quality factor	K > 0,9	K > 0,9	K > 0,9	K > 0,9
Pulse frequency	0 or 2 up to 5000 Hz; cw	0 or 2 up to 5000 Hz; cw	0 or 2 up to 5000 Hz; cw	0 or 2 up to 5000 Hz; cw

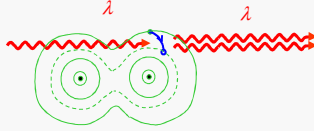
	ROFIN DC 030	ROFIN DC 035	ROFIN DC 040	ROFIN DC 045
Excitation	HF	HF	HF	HF
Output power	3000 W	3500 W	4000 W	4500 W
Power range	300-3000 W	350-3500 W	400-4000 W	450-4500 W
Beam quality factor	K > 0,9	K > 0,9	K ≥ 0,9	K ≥ 0,9
Pulse frequency	0 or 2 up to 5000 Hz; cw	0 or 2 up to 5000 Hz; cw	0 or 2 up to 5000 Hz; cw	-

	ROFIN DC 050	ROFIN DC 060 W	ROFIN DC 060 W
Excitation	RF	RF	RF
Output power	5000 W	6000 W	8000 W
Power range	500-5000 W	1500-6000 W	800-8000 W
Beam quality factor	K ≥ 0,9	K ≥ 0,9	K ≥ 0,9
Pulse frequency	-	-	-



- **Pumping:** electrical discharge (transverse) (make a drawing) →

- λ ~ UV, VIS, NIR



- **Example: Excimer laser** (η ~ 1-10%, 3-level):

ArF $\lambda = 193$ nm (UV)

KrF $\lambda = 248$ nm (UV)

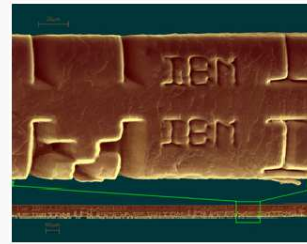
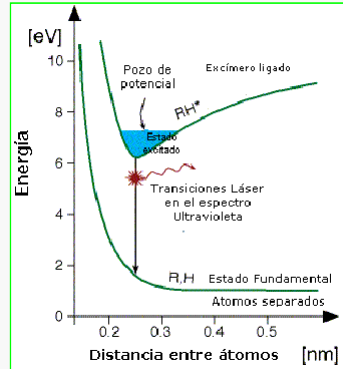
XeCl $\lambda = 309$ nm (UV)

XeF $\lambda = 351$ nm (UV)

Only **pulsed emission** (10-20 ns, MW peak power) Why ?

- Another Example: **N₂ laser** ($\lambda = 337.1$ nm; 4-level)

Only **pulsed emission** (5-10 ns, MW peak power)



Human hair !



LASERS: TYPES OF AMPLIFYING MEDIUM

a) **GAS**

- **Atoms:** He-Ne, He-Cd, Cu.
- **Ions:** Ar⁺, Kr⁺.
- **Molecules:** Electronic (vibronic) transitions: **Excimer, N₂**.
Vibrational transitions: **CO₂, CO, chemical lasers.**
Rotational transitions: **NH₃, CH₃OH, CH₃F.**

b) **LIQUID**

- **Dye laser:** **Rhodamin 6G, coumarin, ...**

c) **SOLID STATE**

- **Doped crystal:** Rubi, **Nd:YAG**, Nd:Glass, **Ti:Sapphire**, Alexandrite
Microxips, **microlasers**
- **Optical fiber:** **Er³⁺:Silicon (Er³⁺:SiO₂)**
- **Others:** Color centres, ...

d) **SEMICONDUCTOR (DIODE LASERS)**

- **Near infrared:** **AlGaAs, InGaAsP**
- **Visible:** **GainP, AlGalnP, GaP**
- **Mid infrared:** ...
- **Other types:** VCSEL's, "arrays", high power, ...

e) **OTHERS**

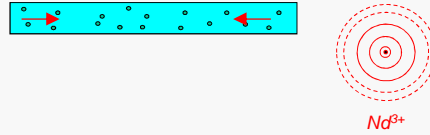
- Free electron laser, • X Rays, g rays, • Random lasers, (etc.)



- Pumping: flash, or diode lasers



- Electronic transitions in impurity ions
- $\lambda \sim$ NIR, VIS

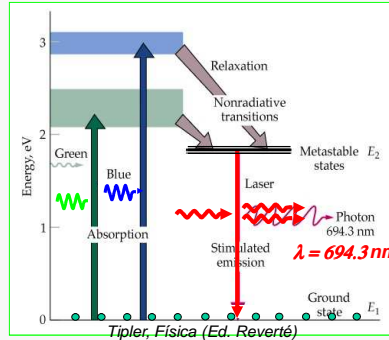
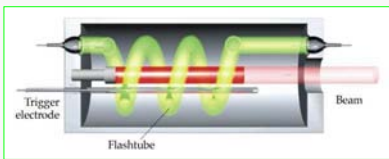


Examples:

- **Nd:YAG laser:** $\lambda = 1064 \text{ nm}$ (NIR), $\eta \sim 1-10\%$, 4-level scheme
- **Rubi laser:** $\lambda = 694,3 \text{ nm}$ (red), $\eta \sim 0.1\%$, 3-level scheme
- **Ti:sapphire laser:** $\lambda \sim 660-990 \text{ nm}$ (NIR), **tunable**, 4-level scheme modified

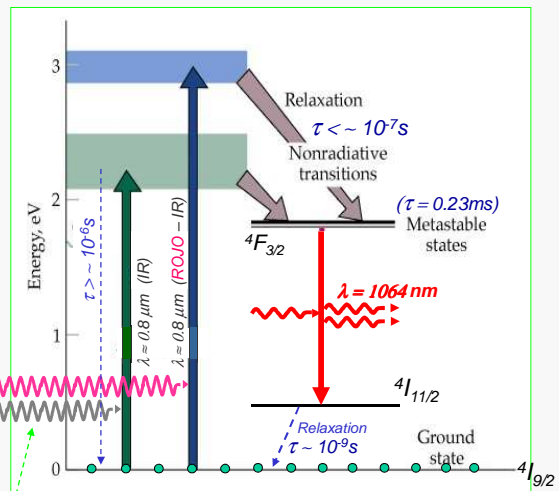


Rubi laser (Cr:Al₂O₃)



"3-level" laser scheme

Nd:YAG laser (Nd:Y₂Al₅O₁₂)



PUMPING (With light)

"4-level" laser scheme

31

B.c) SOLID-STATE LASERS: Nd:YAG laser

	ROFIN DP 010 HK	ROFIN DP 015 HK
Excitation	Laser diodes	Laser diodes
Output power (@collimator)	100 - 1000 W	150 - 1500 W
Beam parameter product	12 mm*mrad	12 mm*mrad
Fiber diameter	300 μm	300 μm

	ROFIN DP 020 HP	ROFIN DP 030 HP	ROFIN DP 040 HP
Excitation	Laser diodes	Laser diodes	Laser diodes
Output power (@collimator)	200 - 2000 W	300 - 3000 W	400 - 4000 W
Beam parameter product	25 mm*mrad	25 mm*mrad	25 mm*mrad
Fiber diameter	600 μm	600 μm	600 μm

www.rofin.com

High power: MOPA configuration

www.trumpf-laser.com

Also (new): disk series

Trumpf: up to 16 kW, BPP~ 2-8 mm-mrad

32

50 aniv. Läser

B) SOLID-STATE LASERS: Nd:YAG laser

UCE-2010

Important features:

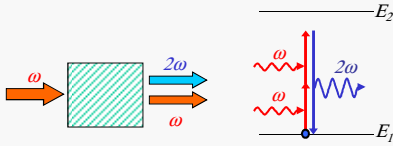
- 1) It can propagate through an optical fiber
- 2) Pulsed regimes: **cw**, **ms**, **μs**, **ns**, **ps**
 - cw** ↔ up to **10 W** (and up to **4 kW** in MOPA config.)
 - ns** ↔ "Q-switching" ~ **10⁹ W** peak power
 - ps** ↔ "Mode locking" ~ **10⁹ W** peak power
- 3) Nonlinear effects: **SHG, THG, FHG, OPO** ⇒ Generation of new frequencies!

SHG

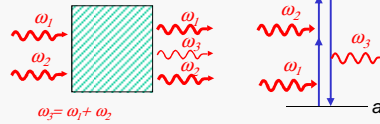
Cold processing with picosecond pulses on a match-head.



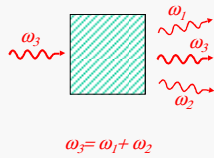
▪ **Second harmonic generation (SHG)**



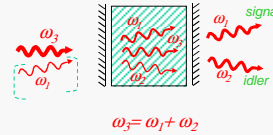
▪ **Sum frequency generation (SFG)**



▪ **Down conversion (parametric fluorescence)**



▪ **Optical parametric oscillation (OPO)**



LASERS: TYPES OF AMPLIFYING MEDIUM

a) GAS

- ♦ **Atoms:** He-Ne, He-Cd, Cu.
- ♦ **Ions:** Ar⁺, Kr⁺.
- ♦ **Molecules:** Electronic (vibronic) transitions: Excimer, N₂.
Vibrational transitions: CO₂, CO, chemical lasers.
Rotational transitions: NH₃, CH₃OH, CH₃F.

b) LIQUID

- ♦ **Dye laser:** Rhodamin 6G, coumarin,

c) SOLID STATE

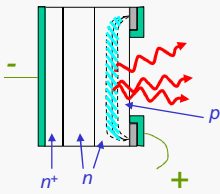
- ♦ **Doped crystal:** Rubi, Nd:YAG, Nd:Glass, Ti:Sapphire, Alexandrite
Microxips, microlasers
- ♦ **Optical fiber:** Er³⁺:Silicon (Er³⁺:SiO₂)
- ♦ **Others:** Color centres, ...

d) SEMICONDUCTOR (DIODE LASERS)

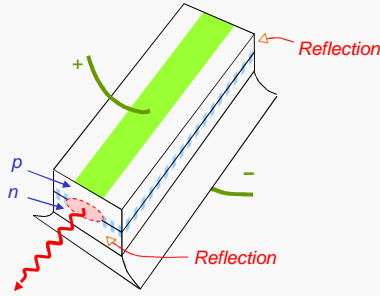
- ♦ **Near infrared:** AlGaAs, InGaAsP
- ♦ **Visible:** GaNP, AlGaNIP, GaP
- ♦ **Mid infrared:** ...
- ♦ **Other types:** VCSEL's, "arrays", high power, ...

e) OTHERS

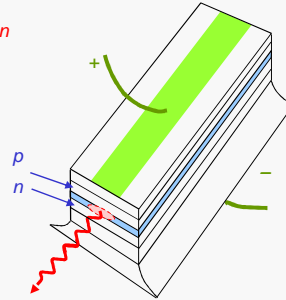
- ♦ Free electron laser, ♦ X Rays, g rays, ♦ Random lasers, (etc.)



LED



"Simple homojunction" (old)

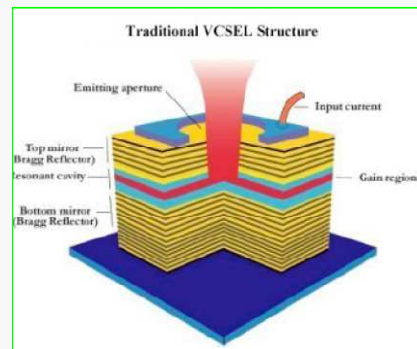


"Double heterojunction"

LASERS



1) VCSEL type:



- Advantages:**
- Better directionality and coupling to an optical-fiber
 - Very low emission threshold (high-reflectance mirrors)
 - Multi-laser emission in parallel (laser matrix)



2) High-power lasers:

- Battery of edge-emitting lasers, of larger dimensions
- Up to 2 kW
- Low beam quality (BPP large): good for welding of different types of materials.

3) Quantum-cascade lasers:

4) Near future: Silicon lasers ? (Si photonics)

Si lasers, or more likely, **hybrid Si lasers**, would be the ideal step to combine microelectronics and photonics !! (for integrated computing at terabit levels, extending Moore's law; etc.)



LASERS: TYPES OF AMPLIFYING MEDIUM

a) GAS

- ♦ Atoms: He-Ne, He-Cd, Cu.
- ♦ Ions: Ar⁺, Kr⁺.
- ♦ Molecules: Electronic (vibronic) transitions: Excimer, N₂.
Vibrational transitions: CO₂, CO, **chemical lasers**.
Rotacional transitions: NH₃, CH₃OH, CH₃F.

b) LIQUID

- ♦ Dye laser: Rhodamin 6G, coumarin,

c) SOLID STATE

- ♦ Doped crystal: Rubi, Nd:YAG, Nd:Glass, Ti:Sapphire, Alexandrite, Microxips, microlasers
- ♦ Optical fiber: Er³⁺:Silicon (Er³⁺:SiO₂)
- ♦ Others: Color centres, ...

d) SEMICONDUCTOR (DIODE LASERS)

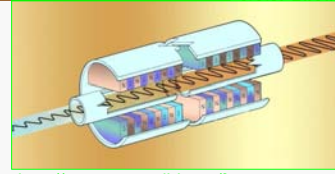
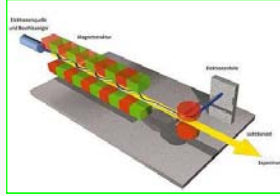
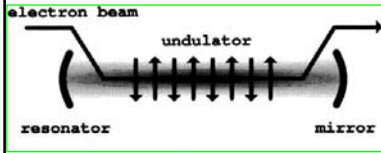
- ♦ Near infrared: AlGaAs, InGaAsP
- ♦ Visible: GaNP, AlGaN, GaP
- ♦ Mid infrared: ...
- ♦ Other types: VCSEL's, "arrays", high power, ...

e) OTHERS

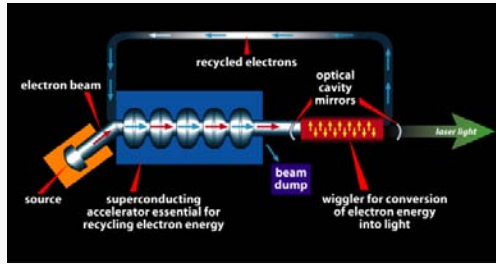
- ♦ Free electron laser, ♦ X Ray, ♦ Random lasers, ♦ Micro- and nano-lasers (microdisc, microsphere, quantum dot, guided-wave photonic crystal,...), ♦ Single-atom lasers



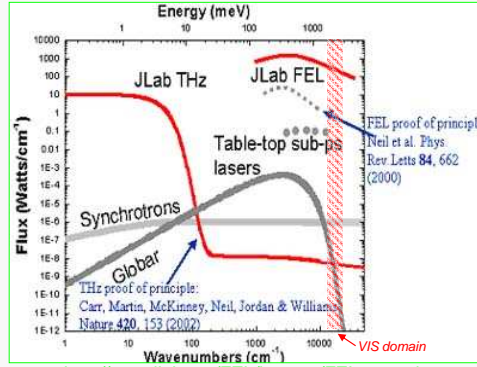
- Free-electron laser (FEL)



<http://newscenter.lbl.gov/feature-stories/2007/11/14/into-the-future-at-the-s of-light/>



<http://www.jlab.org/FEL/images/FELdiagram.gif>



<http://www.jlab.org/FEL/images/FELoutput.jpg>



Antics intents de construir un laser de raigs X

(actualment s'hi està arribant per la via del làser d'electrons lliures i de la generació d'harmonics elevats)



Traditional VCSEL Structure

DBR
Micropillar

(b) Microdisk (c) Microtoroid

Photonic-crystal

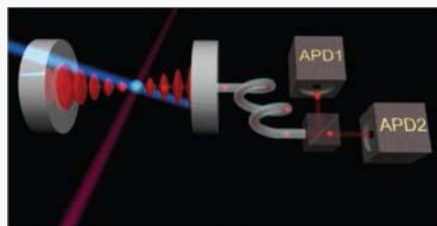
Microsphere

Integrated-optic-ring
Microsphere
Fiber

Wave-guide photonic-crystal cavity
(the smallest laser?)

(a) (b)

Single-atom laser



A high-finesse optical cavity consisting of two mirrors traps and accumulates the photons emitted by the ion into a mode. The ion is excited cyclically by an external laser and at each cycle a photon is added to the cavity mode, which amplifies the light.



A) Introducció

- Motivació
- Història; emissió estimulada.

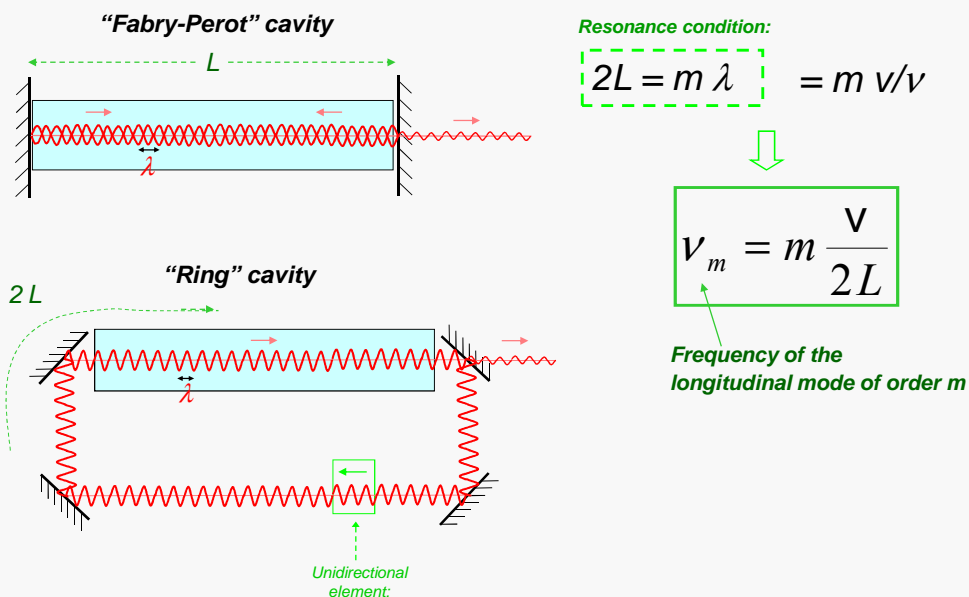
B) L'interior del làser

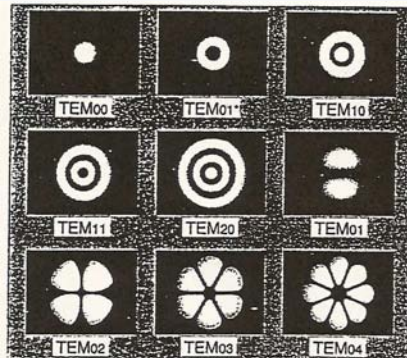
- Parts d'un làser i principis de funcionament.
- Tipus de làser segons el medi amplificador: gas, líquid, estat sòlid, semi-conductor, etc.
- Paper jugat pel ressonador òptic.

C) L'exterior del làser: radiació làser

- Dimensions dels làsers
- Propietats de la radiació làser

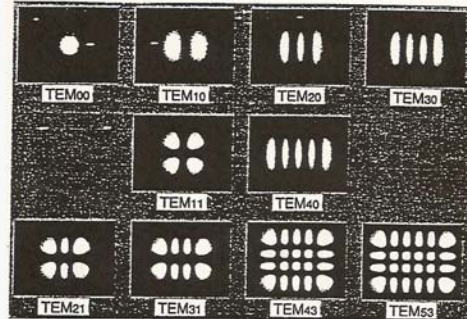
D) Aplicacions científiques i tècniques (present i futur)





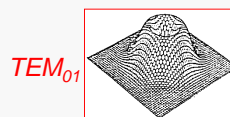
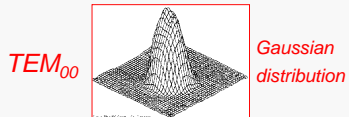
Transverse modes for a cavity with circular transverse section

(Gauss-Laguerre modes)



Transverse modes for a cavity with rectangular transverse section

(Gauss-Hermite modes)



A) Introducció

- Motivació
- Història; emissió estimulada.

B) L'interior del làser

- Parts d'un làser i principis de funcionament.
- Tipus de làser segons el medi amplificador: gas, líquid, estat sòlid, semiconductor, etc.
- Paper jugat pel ressonador òptic.

C) L'exterior del làser: radiació làser

- Dimensions dels làsers
- Propietats de la radiació làser

D) Aplicacions científiques i tècniques (present i futur)

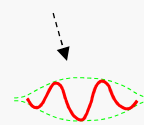
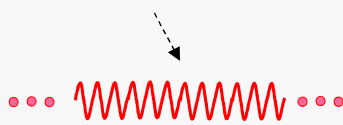


1) FREQUENCY (ν)

LASERs + nonlinear crystals (SHG, OPO): ~ cover most of the spectral optical domain

2) DURATION (Δt)

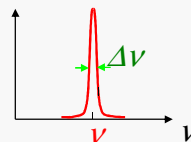
cw - ms - μ s - ns - ps - fs - (as)



To go below ~100 fs special pulse compression techniques are needed



3) MONOCHROMATICITY ($\Delta\nu$)

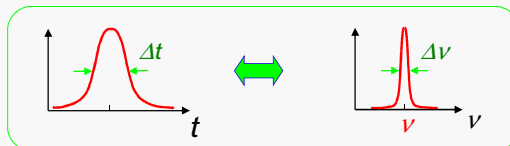


► **cw regime:**

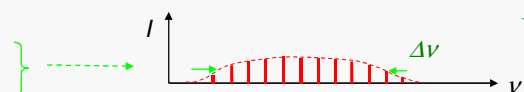
- Typical values (commercial lasers): $\Delta\nu/\nu \sim 10^{-3} - 10^{-5}$
- Record values: $\Delta\nu/\nu \sim 10^{-12} - 10^{-14} !!$

► **Pulsed regime:**

$\Delta t \cdot \Delta\nu \geq 2\pi$

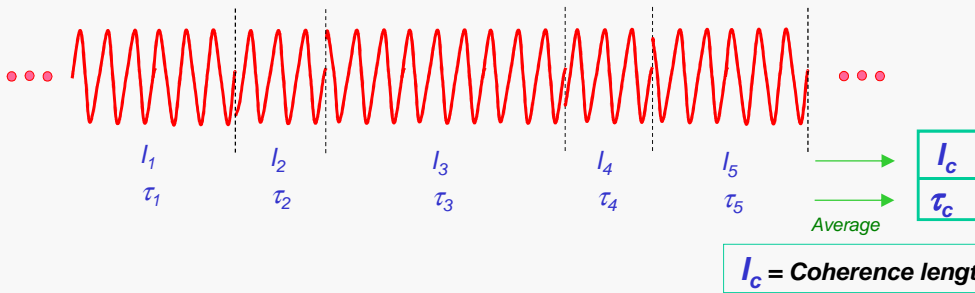


- Pump modulation: ms, μ s
- Q-switching: ns
- Mode-locking: ps
- Additional manipulations: fs, as.





4) **TEMPORAL COHERENCE** (or **LONGITUDINAL COHERENCE**)



- Typical values (commercial lasers): $l_c \sim 1-10-100 \text{ cm}$
- Record values: $l_c \sim 10^3 \text{ km !!}$
- Values for other light sources: $l_c \geq 10 \mu\text{m}$ (record: 30 cm)



5) **SPATIAL COHERENCE** (or **TRANSVERSAL**)



For a laser:
Maximum possible
value (for single-mode
transverse emission)

6) **DIRECCIONALITY:**

$$\theta \approx \frac{\lambda M^2}{\pi W_0}$$

LASER



Only limit:
difracci3n

Example: impact over the Moon < 1 km of diameter (if initial diameter enlarged with the objective lens of a telescope)

(=> measurement of distance moon-earth with precision: ~ 20 cm !!)



7) **POWER**

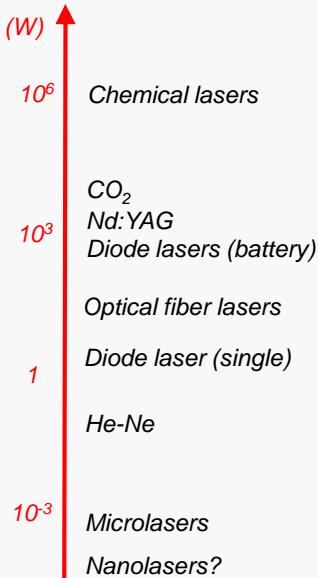
- Limited by: **Capacity of heat extraction !**
- Pulsed lasers: *shorter duration* ⇒ *higher peak power*
- **Typical powers:**

He-Ne	0.5 a 50 mW
Diode láser	0.5 mW to 2 kW
CO₂	1 W to 20000 W
Nd:YAG	0.1 a 4000 W (cw or long pulses)
	< ~ 10 ⁸ W (peak power) ("Q-switched")
	< ~ 10 ⁹ W (" ") ("mode-locked")
- Record powers:

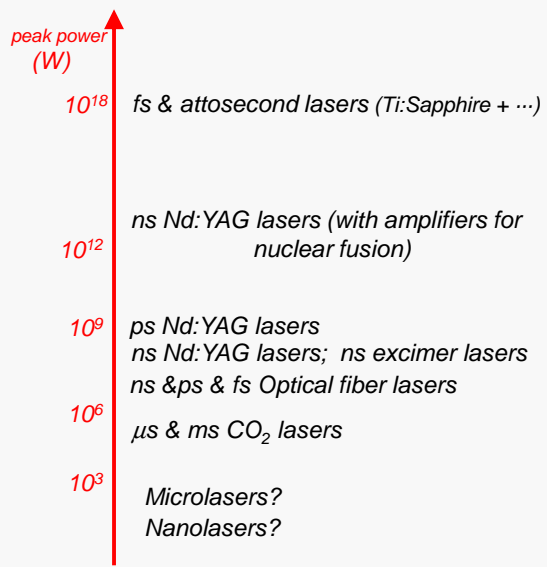
cw	→	2 MW !! (chemical laser)
Pulses 10⁻⁹ s	→	10 TW !! (nuclear fusion)
Pulses fs, as		> PW !! (with amplification out of the cavity)



Power (cw regime)



Power (pulsed regime)





Aplicacions científiques i tècniques dels làsers



LASERS: Contents

A) Introducció

- Motivació
- Història; emissió estimulada.

B) L'interior del làser

- Parts d'un làser i principis de funcionament.
- Tipus de làser segons el medi amplificador: gas, líquid, estat sòlid, semi-conductor, etc.
- Paper jugat pel ressonador òptic.

C) L'exterior del làser: radiació làser

- Dimensions dels làsers
- Propietats de la radiació làser

D) Aplicacions científiques i tècniques



From: FOTONICA 21

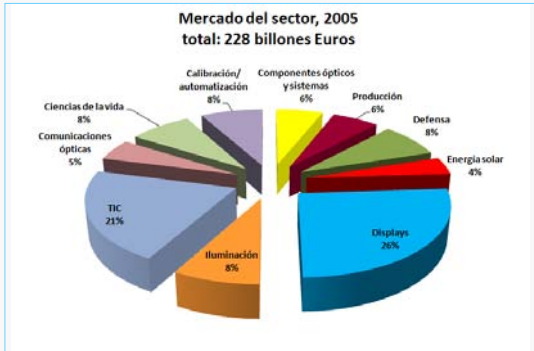


Figura 4: Mercado del sector (Fuente: Optech Consulting, Octubre 2007)

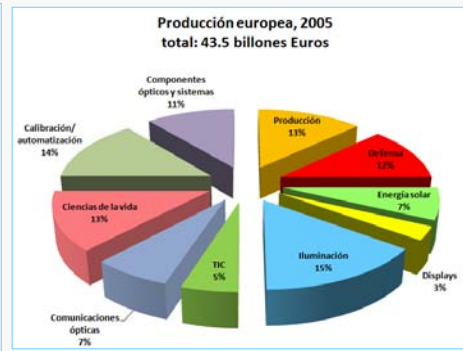


Figura 5: Producción europea del sector (Fuente: Optech Consulting, Octubre 2007)



Làsers: Aplicacions científiques i tècniques

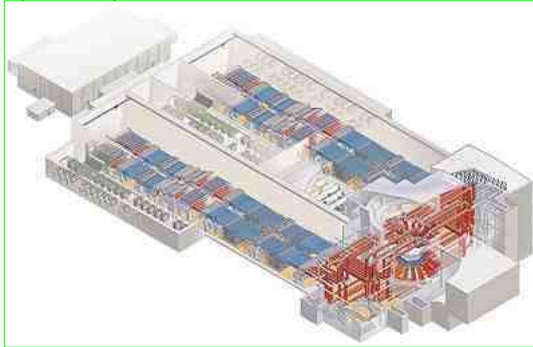
POTÈNCIA

Gran

Mitjana

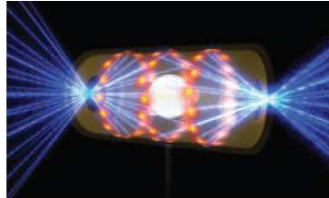
Petita

- **Fusió nuclear**
- **Làser d'electrons lliures, làser de raigs X**
- **Làsers de Terawatt: generació d'altas freqüències i de polsos ultra-curts (atto-segons), aplicacions a Física Atòmica i Nuclear, acceleració de partícules.**
- **Transport d'energia a distància (futur)**
- **Aplics. militars**
- **Processat de materials: tall, soldadura, perforació, marcatge, tractaments de superfície, prototipat 3D (100 nm resol amb femtosecond 2-photon), ...**
- **Espectacles Iluminosos**
- **Fotoquímica: estimulació i control de reaccions químiques (fins i tot unir àtoms freds), foto-dissociació, foto-ionització, ...**
- **Òptica no lineal, per a diverses aplicacions (incloent la generació de extrem UV -13.5 nm- per a dissenyar petites estruct. electròniques i estendre Moore's law, informació quàntica,...)**
- **Biofotònica, aplicacions mèdiques**
- **Control remot: LIDAR, control de l'atmosfera**
- **Arts gràfiques, impressores, memòries (CD, DVD),...** [Futur: projectors, imatges color]
- **Holografia, interferometria, Òptica en general (futurs displays, projectors?)**
- **Espectroscòpia: anàlisi de materials, de contaminants, etc.**
- **Comunicacions òptiques; comunicacions quàntiques (criptografia quàntica, etc.)**
- **Atrapament i refredament d'àtoms, condensació de Bose-Einstein (BEC)**
- **Sensors: de presència, posició, vibració i moviment. Lectors de codis, etc.**
- **Metrologia: mesura de distàncies, angles, relleus,... Velocitat llum, ones gravitacionals,**
- **Òptica integrada, integració amb micro-electrònica (computació, etc.). Micro- i nano-làsers.**
- **Nanolàsers i single-atom lasers per a informació quàntica, ...**



The international inertial confinement fusion community, including LLNL researchers, uses the OMEGA laser at the University of Rochester's Laboratory for Laser Energetics to conduct experiments and test target designs and diagnostics. The 60-beam OMEGA laser at the University of Rochester has been operational since 1995.

This artist's rendering shows an NIF target pellet inside a hohlraum capsule with laser beams entering through openings on either end. The beams compress and heat the target to the necessary conditions for nuclear fusion to occur. Ignition experiments on NIF will be the culmination of more than 30 years of inertial confinement fusion research and development, opening the door to exploration of previously inaccessible physical regimes. Credit is given to Lawrence Livermore National Security LLC, Lawrence Livermore National Laboratory and the US Department of Energy, under whose auspices this work was performed.



A National Ignition Facility (NIF) hohlraum. The hohlraum is a cylindrical shell that surrounds the laser target. It is a small metal shell with two small holes at either end. The laser beams enter through the holes and hit the target. The target is a small metal pellet that is being compressed by the laser beams. The hohlraum is made of a material that is highly reflective to the laser light. The hohlraum is used to create a uniform environment for the laser target. The hohlraum is used to create a uniform environment for the laser target. The hohlraum is used to create a uniform environment for the laser target.



ELI: "Extreme Light Infrastructure"

Megalasers to pulse in several new EU countries

As the world celebrates 50 years since the invention of the laser, a European facility approaching exawatt power is expected to stimulate new research areas and communities.

Lasers planned for the Extreme Light Infrastructure*					
Country	Facility focus	Power (PW)	Pulse energy (J)	Pulse width (fs)	Rep rate (Hz)
Romania	Nuclear physics	10 (x2)	200	20	0.1
Hungary	Attosecond physics	1	5	5	1000
		20	400	20	0.1
Czech Republic	Secondary beam radiation, high-energy particles	1	10	10	10
		5	50	10	10
		10 (x2)	200	20	0.1
To be determined	High intensity	10 beams of 10–20 PW each, phased and combined to create total power of 100–200 PW			

*Laser parameters still subject to change.



Terawatt short-pulse lasers

"Table Top Terawatt" laser (T³)

Quan la llum és més densa que la matèria

50è aniversari del làser

Luis Roso
Director

CLPU
Centro de Laseres Pulsados
<http://www.clpu.es/>

UPC Terrassa
7 maig 2010

LASERFEST
CENTRO DE LASERES PULSADOS

Light bullets **CLPU**

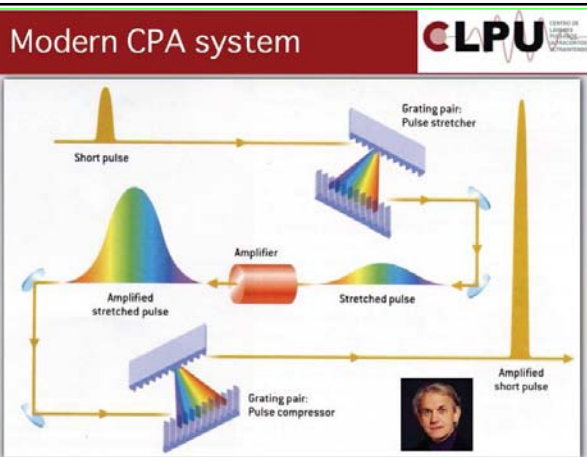
100 femtosegundos = 30 micras

Pulse làser

Same density at
10e24 W/cm²

Cabello humano x 800 0075 15kV 50µm

Copy of transparencies from Prof. Luis Roso, Salamanca)



"Table Top Terawatt" laser (T³)

Multi-Terawatt laser at Salamanca

Copy of transparencies from Prof. Luis Roso, Salamanca)



9

Power beaming UCE-2010

Laser beams transport energy to places that are not easily reached via conventional methods. Examples include supplying energy to remote military camps or to a supply ship (airship) stationed above a specific area for observation tasks. The space elevator is another project on

only to have laser pointers in a Swiss army knife, as we do today, but also even to replace the stainless steel blade with a laser blade. Just imagine the possibilities for a moment: You could cut down that tree in your backyard with a laser. Now that we've specialized about the

but that lasers will be around long after I'm gone.

Meet the author
 Jochen Dohle is the manager of new laser products for Trumpf Inc. in Farnborough, Great Britain. E-mail: jochen.dohle@trumpf.com.



Traslladat energia a llocs llunyans o inaccessibles.

PHOTOS: SPACE July 2010 PICTURES: MESA 57

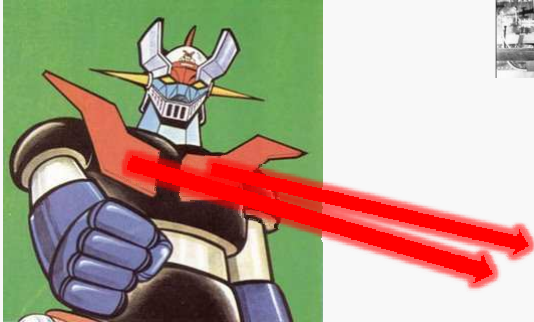

- Un petitet avió ha sigut propulsat des de terra!
- Elevador espacial
- Comunicacions inter-planetàries
- Captar energia dalt i enviar-la cap a la terra (o a l'inrevés)

10

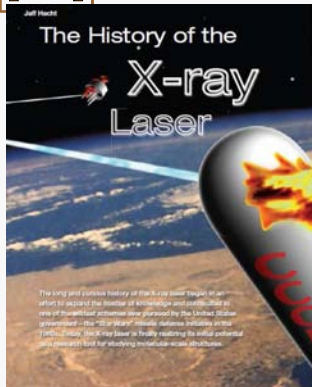
50 aniv. Làser

Aplics. militars? UCE-2010

James Bond ...

Is Mazinger possible?

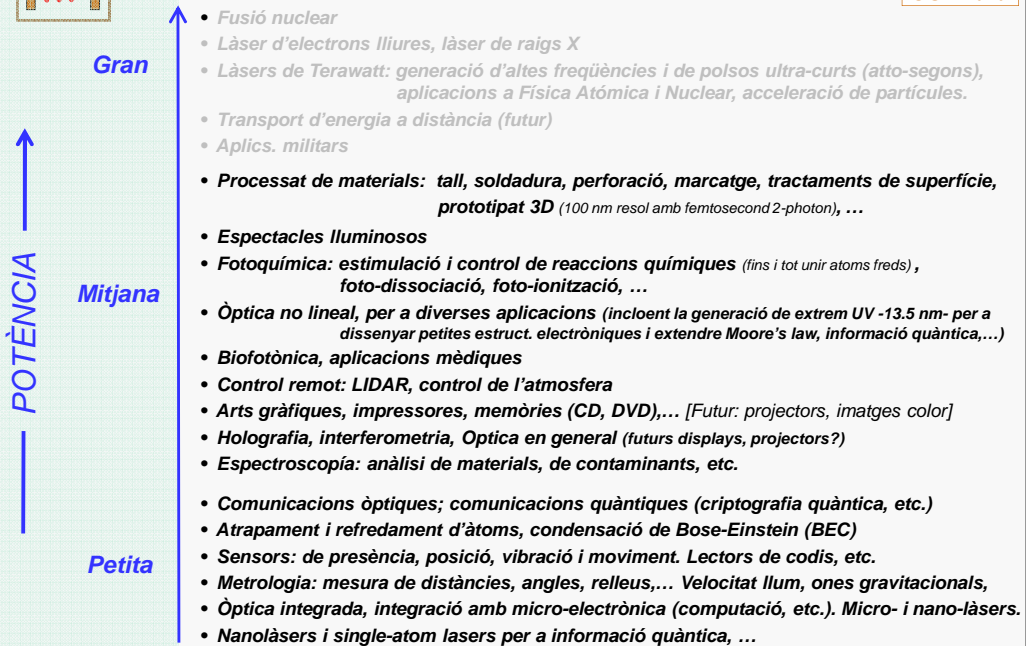


Cold-war fever in the 1980s...

Lockheed aerospace engineer Maxwell Hunter put forth the boldest plans—a fleet of 18 orbiting chemical laser battle stations, which he claimed could block a surprise attack by thousands of Soviet nuclear missiles. [Around year 1980]



Làsers: Aplicacions científiques i tècniques



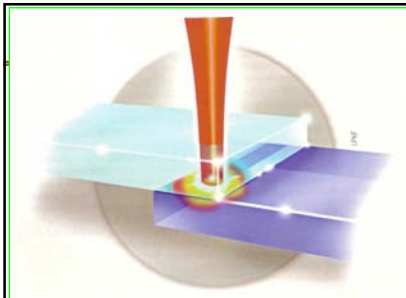
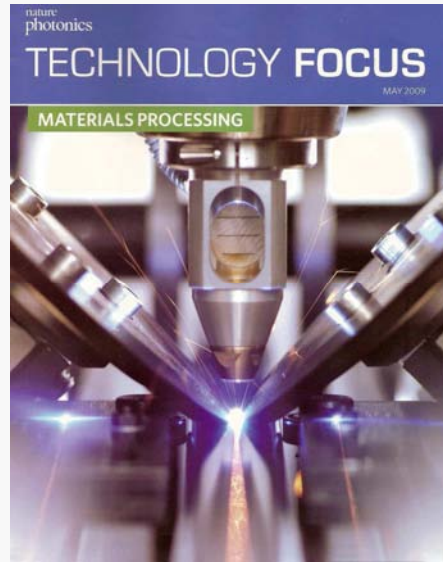


Figure 1 | Principle of laser transmission welding of two plastic components. The laser beam passes through the upper plastic layer but is absorbed by the lower one, generating heat that fuses the two components together, which then cool and harden.

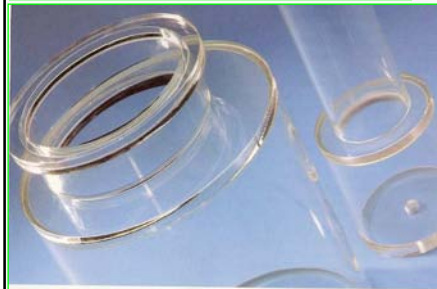


Figure 2 | Example of high-quality laser welding of transparent plastic parts using the Clearweld technology. A light-absorbing dye is sandwiched between the components to be joined. On illumination with a laser it heats up, melting the interface between the parts. Advantageously, the dye becomes colourless in the process leaving a weld seam that is invisible to the naked eye.



Figure 4 | A hybrid system with an example application of an automotive tail light.

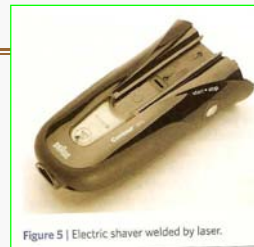
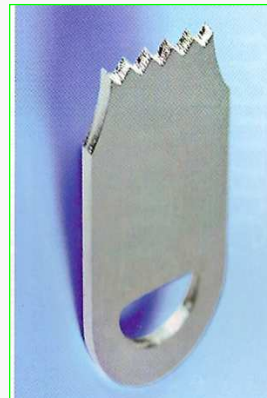


Figure 5 | Electric shaver welded by laser.



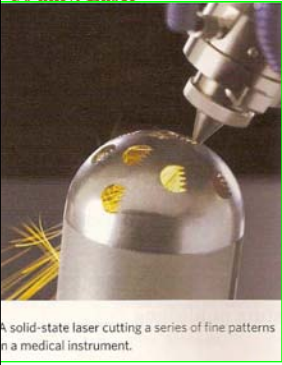
Nature Photonics, May 2009

50 aniv. Làser

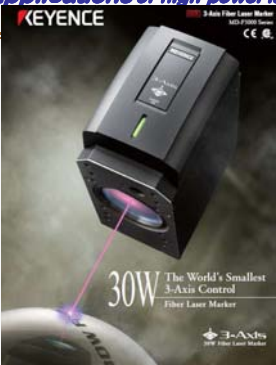
Applications of high-power lasers (Nd:YAG, CO₂) in PROCESSING

15

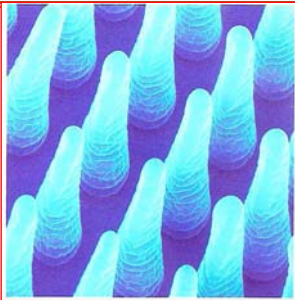
UCÉ-2010




A solid-state laser cutting a series of fine patterns in a medical instrument.



30W The World's Smallest 3-Axis Control Fiber Laser Marker

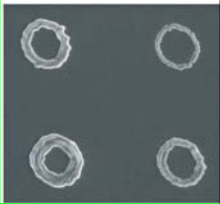


Chichkov et al, Appl. Phys. A 63 (1996)



fs ps n

Optical tweezers boost direct-write nanolithography
Opt. Express 17, 3640-3650 (2009)



50 aniv. Làser

Prototipat, sinterització

16

UCÉ-2010



Figure 1 | Laser sintering in action. A laser beam melts a layer of metal powder which then solidifies. By repeating the process a three-dimensional part can be made.

Nature Photonics, May 2009



a-



b-

Figure 2 | Laser sintering and cars. a. Close-up of the laser-sintered prototype bumper section for the Jaguar XJ. The painted model was used to visualize the fit and finish of key components before production. b. The laser-sintered plastic tool that assists operators working on the new Jaguar XK production line to position window lift mechanisms during assembly.



Figure 3 | Prototype plate bender, used to contour plates for spinal surgery, built by DePuy using a laser-sintering system.



Digital light processing (DLP) technology used in concert with a laser-assisted manufacturing, rapid-prototyping process can speed dental and hearing aid implant manufacture by varying the illumination intensity (and corresponding cure depth) pixel-by-pixel in the fabrication process. (Courtesy of EnvisionTEC)



POTÈNCIA ↑

Gran

- *Fusió nuclear*
- *Làser d'electrons lliures, làser de raigs X*
- *Làsers de Terawatt: generació d'altas freqüències i de polsos ultra-curts (atto-segons), aplicacions a Física Atòmica i Nuclear, acceleració de partícules.*
- *Transport d'energia a distància (futur)*
- *Aplics. militars*
- *Processat de materials: tall, soldadura, perforació, marcatge, tractaments de superfície, prototipat 3D (100 nm resol amb femtosecond 2-photon), ...*

Mitjana

- **Espectacles Iluminosos**
- **Fotoquímica: estimulació i control de reaccions químiques (fins i tot unir àtoms freds), foto-dissociació, foto-ionització, ...**
- **Òptica no lineal, per a diverses aplicacions (incloent la generació de extrem UV -13.5 nm- per a dissenyar petites estructures electròniques i estendre Moore's law, informació quàntica,...)**
- **Biofotònica, aplicacions mèdiques**
- **Control remot: LIDAR, control de l'atmosfera**
- **Arts gràfiques, impressores, memòries (CD, DVD),... [Futur: projectors, imatges color]**
- **Holografia, interferometria, Òptica en general (futurs displays, projectors?)**
- **Espectroscòpia: anàlisi de materials, de contaminants, etc.**

Petita

- **Comunicacions òptiques; comunicacions quàntiques (criptografia quàntica, etc.)**
- **Atrapament i refredament d'àtoms, condensació de Bose-Einstein (BEC)**
- **Sensors: de presència, posició, vibració i moviment. Lectors de codis, etc.**
- **Metrologia: mesura de distàncies, angles, relleus,... Velocitat llum, ones gravitacionals,**
- **Òptica integrada, integració amb micro-electrònica (computació, etc.). Micro- i nano-làsers.**
- **Nanolàsers i single-atom lasers per a informació quàntica, ...**

**See the light**

Artist Hiro Yamagata linked science with art at his "Photon 999" exhibition, where multiple laser systems immersed the viewers in a moving-light show.

POTÈNCIA

Gran

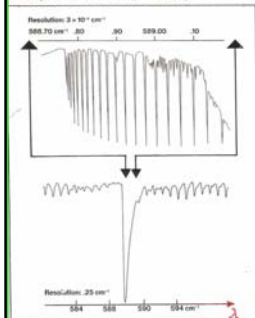
Mitjana

Petita

- *Fusió nuclear*
- *Làser d'electrons lliures, làser de raigs X*
- *Làsers de Terawatt: generació d'altas freqüències i de polsos ultra-curts (atto-segons), aplicacions a Física Atòmica i Nuclear, acceleració de partícules.*
- *Transport d'energia a distància (futur)*
- *Aplics. militars*
- **Processat de materials: tall, soldadura, perforació, marcatge, tractaments de superfície, prototipat 3D (100 nm resol amb femtosecond 2-photon), ...**
- **Espectacles Iluminosos**
- **Fotoquímica: estimulació i control de reaccions químiques (fins i tot unir àtoms freds), foto-dissociació, foto-ionització, ...**
- **Òptica no lineal, per a diverses aplicacions (incloent la generació de extrem UV -13.5 nm- per a dissenyar petites estructures electròniques i estendre Moore's law, informació quàntica,...)**
- **Biofotònica, aplicacions mèdiques**
- **Control remot: LIDAR, control de l'atmosfera**
- **Arts gràfiques, impressores, memòries (CD, DVD),...**
- **Holografia, interferometria, Òptica en general (futurs displays, projectors?)**
- **Espectroscòpia: anàlisi de materials, de contaminants, etc.**
- **Comunicacions òptiques; comunicacions quàntiques (criptografia quàntica, etc.)**
- **Atrapament i refredament d'àtoms, condensació de Bose-Einstein (BEC)**
- **Sensors: de presència, posició, vibració i moviment. Lectors de codis, etc.**
- **Metrologia: mesura de distàncies, angles, relleus,... Velocitat llum, ones gravitacionals,**
- **Òptica integrada, integració amb micro-electrònica (computació, etc.). Micro- i nano-làsers.**
- **Nanolàsers i single-atom lasers per a informació quàntica, ...**

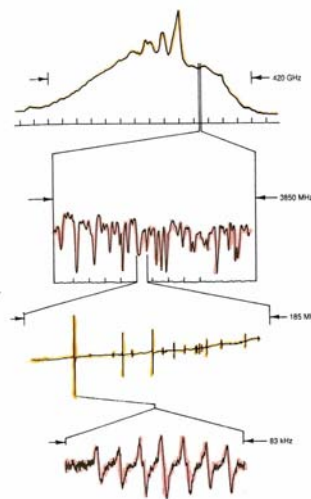
Laser Source Spectrometer

Ultra High Resolution - Seeing is Believing



DIODE LÀSER

ESPECTROMÈTRIC CONVENIENCIAL

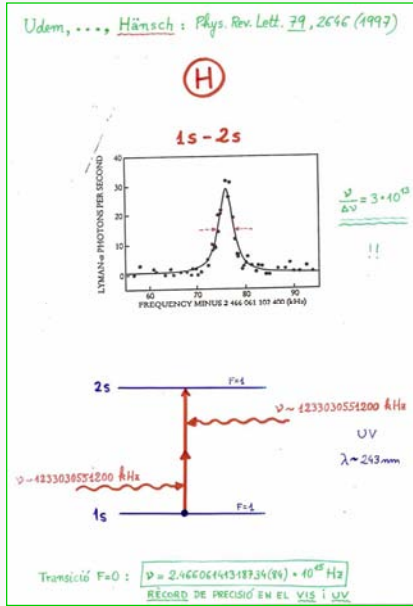


CONVENIENCIAL

DIODE LÀSER

LÀSER [SUB-DOPPLER]

(IDEM) [LÀSER SUPER-ESTABILITZAT]



Applications even in
Cosmology...



Control remot:

- LIDAR,
- Control de l'atmosfera,...

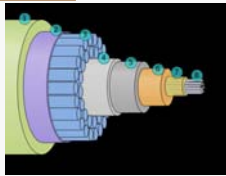
POTÈNCIA

Gran

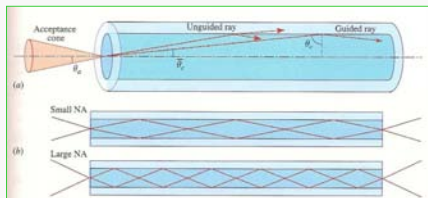
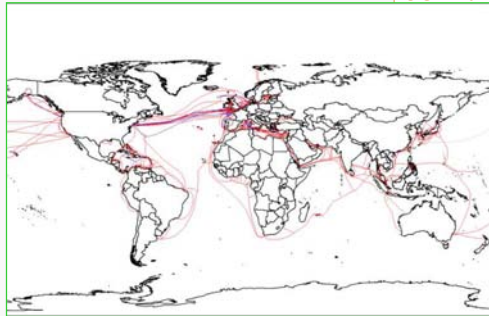
Mitjana

Petita

- **Fusió nuclear**
- Làser d'electrons lliures, làser de raigs X
- Làsers de Terawatt: generació d'altas freqüències i de polsos ultra-curts (atto-segons), aplicacions a Física Atòmica i Nuclear, acceleració de partícules.
- Transport d'energia a distància (futur)
- Aplics. militars
- **Processat de materials: tall, soldadura, perforació, marcatge, tractaments de superfície, prototipat 3D (100 nm resol amb femtosecond 2-photon), ...**
- **Espectacles Iluminosos**
- **Fotoquímica: estimulació i control de reaccions químiques (fins i tot unir àtoms freds), foto-dissociació, foto-ionització, ...**
- **Òptica no lineal, per a diverses aplicacions (incloent la generació de extrem UV -13.5 nm- per a dissenyar petites estructures electròniques i estendre Moore's law, informació quàntica,...)**
- **Biofotònica, aplicacions mèdiques**
- **Control remot: LIDAR, control de l'atmosfera**
- **Arts gràfiques, impressores, memòries (CD, DVD),... [Futur: projectors, imatges color]**
- **Holografia, interferometria, Òptica en general (futurs displays, projectors?)**
- **Espectroscòpia: anàlisi de materials, de contaminants, etc.**
- **Comunicacions òptiques; comunicacions quàntiques (criptografia quàntica, etc.)**
- **Atrapament i refredament d'àtoms, condensació de Bose-Einstein (BEC)**
- **Sensors: de presència, posició, vibració i moviment. Lectors de codis, etc.**
- **Metrologia: mesura de distàncies, angles, relleus,... Velocitat llum, ones gravitacionals,**
- **Òptica integrada, integració amb micro-electrònica (computació, etc.). Micro- i nano-làsers.**
- **Nanolàsers i single-atom lasers per a informació quàntica, ...**



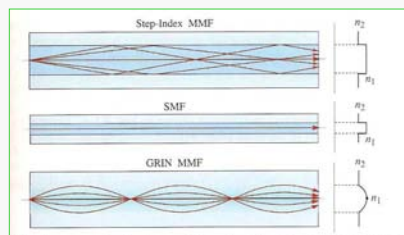
OPTICAL FIBERS



$$NA = \sin \theta_a$$

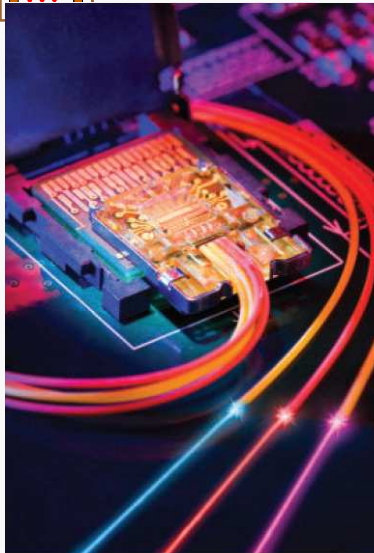
$$V = (2\pi a / \lambda_0) \cdot NA$$

“Fiber parameter”





<http://www.idquantique.com/>




Jeffrey Bengtsson

Light Peak module close-up with laser light added for illustration (actual infrared light is invisible to the eye).



Applications in biology (biophotonics) and medicine:

- **Vision: LASIK, retina problems in diabetes, ...**
- **Skin**
- **Rheumatism**
- **Laser thermotherapy –by heat-, photodynamic therapy –by light activated drugs-:**
Remove obstructions in arteries and veins, ulcers, tumors (cancer),...
(use of drugs, fluophores, plasmon particles,...)
- **Surgery: laser scalpel**
- **Measurement of blood concentration of particles, velocities, tissue coagulation**
(by light scattering, Doppler shift,...)
- **Analysis of cells and tissues by: single-photon spectroscopy (helped with fluophores,...)**
two-photon spectroscopy,
Optical coherence tomography (OCT),
etc.
-
-
-



- *Fusió nuclear*
- *Làser d'electrons lliures, làser de raigs X*
- *Làsers de Terawatt: generació d'altres freqüències i de polsos ultra-curts (atto-segons), aplicacions a Física Atòmica i Nuclear, acceleració de partícules.*
- *Transport d'energia a distància (futur)*
- *Aplics. militars*
- *Processat de materials: tall, soldadura, perforació, marcatge, tractaments de superfície, prototipat 3D (100 nm resol amb femtosecond 2-photon), ...*
- *Espectacles Iluminosos*
- *Fotoquímica: estimulació i control de reaccions químiques (fins i tot unir àtoms freds), foto-dissociació, foto-ionització, ...*
- *Òptica no lineal, per a diverses aplicacions (incloent la generació de extrem UV -13.5 nm- per a dissenyar petites estruct. electròniques i estendre Moore's law, informació quàntica,...)*
- *Biofotònica, aplicacions mèdiques*
- *Control remot: LIDAR, control de l'atmosfera*
- *Arts gràfiques, impressores, memòries (CD, DVD),... [Futur: projectors, imatges color]*
- *Holografia, interferometria, Òptica en general (futurs displays, projectors?)*
- *Espectroscòpia: anàlisi de materials, de contaminants, etc.*
- *Comunicacions òptiques; comunicacions quàntiques (criptografia quàntica, etc.)*
- **Atrapament i refredament d'àtoms, condensació de Bose-Einstein (BEC)**
- *Sensors: de presència, posició, vibració i moviment. Lectors de codis, etc.*
- *Metrologia: mesura de distàncies, angles, relleus,... Velocitat llum, ones gravitacionals,*
- *Òptica integrada, integració amb micro-electrònica (computació, etc.). Micro- i nano-làsers.*
- *Nanolàsers i single-atom lasers per a informació quàntica, ...*

Action over the center of mass of the atoms:

Controlling the movement of atoms with laser light

- ***Cooling and trapping of atoms***
- ***Bose-Einstein condensation (BEC)***



Steven Chu



*Claude
Cohen-Tannoudji*



William D. Phillips

“For development of methods to cool and trap atoms with laser light”



Eric A. Cornell

*JILA and NIST
Boulder, CO, USA*

*Born in 1961 (Palo Alto)
PhD 1990 (MIT)*



Wolfgang Ketterle

*MIT
Cambridge, MA, USA*

*Born in 1957 (Heidelberg)
PhD 1986 (Universität München and
Max-Planck-Institut für
Quantenoptik, Garching)*

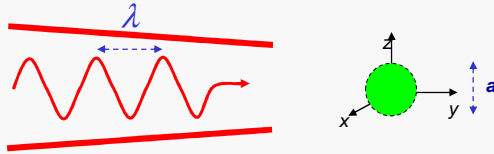


Carl E. Wieman

*JILA and Univ. of Colorado
Boulder, CO, USA*

*Born in 1951 (Oregon)
PhD 1977 at Stanford University*

For the achievement of Bose-Einstein condensation in dilute gases of alkali atoms, and for early fundamental studies of the properties of the condensates



Forces over an object (atom,...), from an electromagnetic wave :

• **Radiation pressure:**

Longitudinal force, due to the **photon momentum**, usually in the propagation direction (if photon is absorbed)

$$\vec{F} = \vec{p}_{\text{photon}} \cdot \frac{dn}{dt}$$

$n = \text{number of photons/sec absorbed}$

• **Dipolar (if $\lambda \gg a$) or momentum-exchange (if $\lambda \ll a$) :**

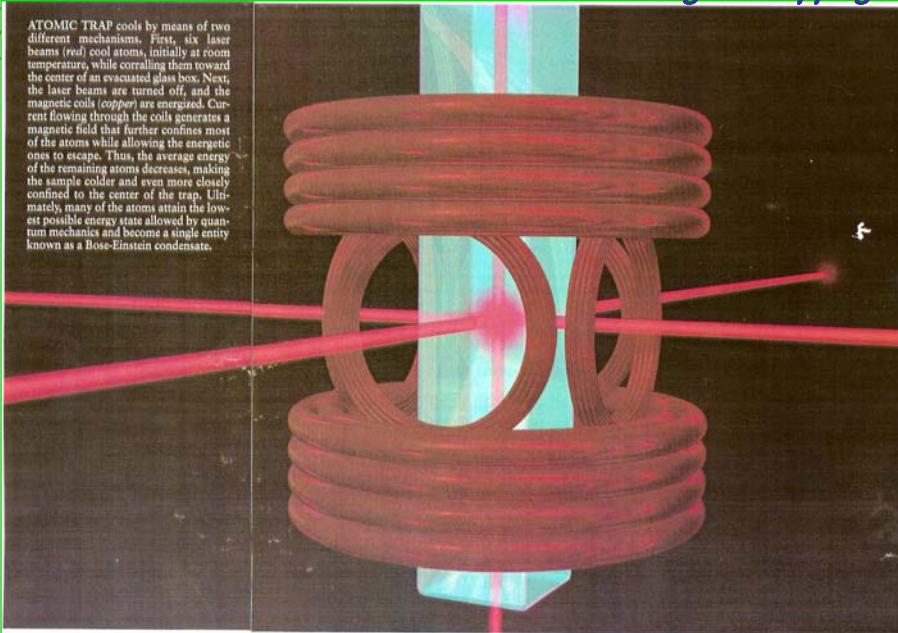
Transverse (and longitudinal) component, associated usually to focused beams, with a **gradient of intensity**. Example for $\lambda \gg a$:

$$F = \frac{1}{2} \alpha \cdot \nabla E^2$$

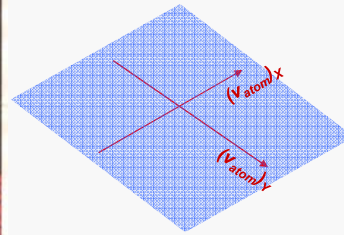
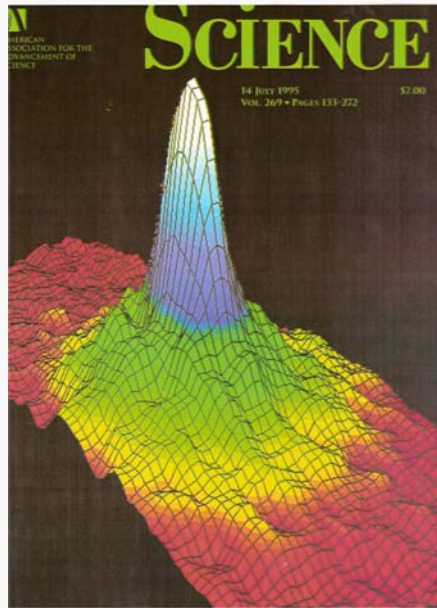
$\alpha = \text{polarizability of the sample}$



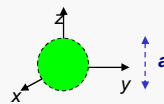
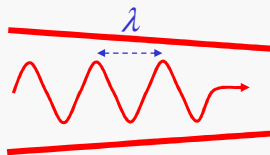
ATOMIC TRAP cools by means of two different mechanisms. First, six laser beams (red) cool atoms, initially at room temperature, while corralling them toward the center of an evacuated glass box. Next, the laser beams are turned off, and the magnetic coils (copper) are energized. Current flowing through the coils generates a magnetic field that further confines most of the atoms while allowing the energetic ones to escape. Thus, the average energy of the remaining atoms decreases, making the sample colder and even more closely confined to the center of the trap. Ultimately, many of the atoms attain the lowest possible energy state allowed by quantum mechanics and become a single entity known as a Bose-Einstein condensate.



E. A. Cornell, C. E. Wieman : Sci. Am. (March 1998), p. 26



• Anderson, Escher, Matthews, Wieman, Grannell: Science 269, 418-204 (1995)



Forces over an object (atom,...), from an electromagnetic wave :

• **Radiation pressure:**

Longitudinal force, due to the **photon momentum**, usually in the propagation direction (if photon is absorbed)

$$\vec{F} = \vec{p}_{\text{photon}} \cdot \frac{dn}{dt}$$

n = number of photons/sec absorbed

• **Dipolar (if $\lambda \gg a$) or momentum-exchange (if $\lambda \ll a$) :**

Transverse (and longitudinal) component, associated usually to focused beams, with a **gradient of intensity**. Example for $\lambda \gg a$:

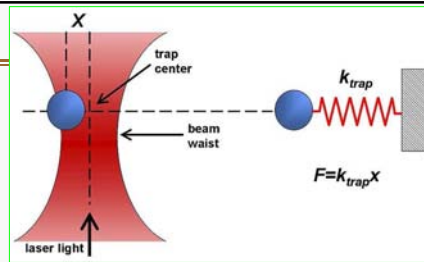
$$F = \frac{1}{2} \alpha \cdot \nabla E^2$$

α = polarizability of the sample



Optical tweezers

Two regimes:



www.wikipedia.org

a) **Rayleigh regime:** $\lambda \gg a$ (a = radius sphere) The gradient force is the force of a non-uniform field over an induced dipole: “dipolar force”. (It applies in particular to atoms)

$$F = \frac{1}{2} \alpha \cdot \nabla E^2$$

α = polarizability of the sample

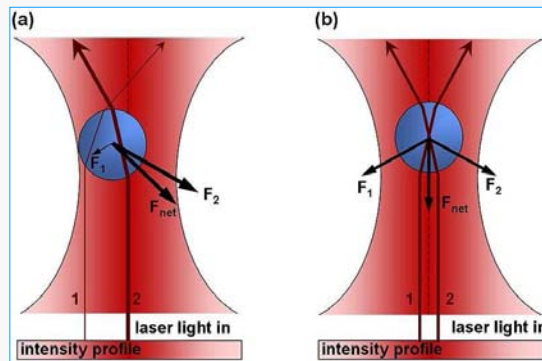
b) (General Mie regime): $\lambda \ll a$. The gradient forces is dominated by the momentum reaction to the light deviation by refraction inside the sphere (if it is transparent), on the walls: “Momentum-exchange” force. (Many applications in biology)

- Forces are, typically, in the **pico-Newton** range
- Ashkin was able to trap larger particles (10 to 10,000 nanometers in diameter) but it fell to Chu to extend these techniques to the trapping of neutral atoms (0.1 nanometers in diameter) utilizing resonant laser light and a magnetic gradient trap.



Optical tweezers

b) (General Mie regime): $\lambda \ll a$. The gradient forces is dominated by the momentum reaction to the light deviation by refraction inside the sphere (if it is transparent), on the walls: “Momentum-exchange” force. (Many applications in biology)



Ray-optics and linear-momentum explanation:

When the bead is displaced from the beam center, as in (a), the larger intense rays cause a net force to be applied back toward the center of the trap. When the bead is laterally centered on the beam, as in (b), the net force points toward the beam waist. (www.wikipedia.org)

50 aniv. Làser 1

Làsers: Aplicacions científiques i tècniques

UCE-2010

POTÈNCIA ↑

- *Fusió nuclear*
- *Làser d'electrons lliures, làser de raigs X*
- *Làsers de Terawatt: generació d'altres freqüències i de polsos ultra-curts (atto-segons), aplicacions a Física Atòmica i Nuclear, acceleració de partícules.*
- *Transport d'energia a distància (futur)*
- *Aplics. militars*
- *Processat de materials: tall, soldadura, perforació, marcatge, tractaments de superfície, prototipat 3D (100 nm resol amb femtosecond 2-photon), ...*
- *Espectacles lluminosos*
- *Fotoquímica: estimulació i control de reaccions químiques (fins i tot unir àtoms freds), foto-dissociació, foto-ionització, ...*
- *Òptica no lineal, per a diverses aplicacions (incloent la generació de extrem UV -13.5 nm- per a dissenyar petites estructures electròniques i estendre Moore's law, informació quàntica,...)*
- *Biofotònica, aplicacions mèdiques*
- *Control remot: LIDAR, control de l'atmosfera*
- *Arts gràfiques, impressores, memòries (CD, DVD),... [Futur: projectors, imatges color]*
- *Holografia, interferometria, Òptica en general (futurs displays, projectors?)*
- *Espectroscòpia: anàlisi de materials, de contaminants, etc.*
- *Comunicacions òptiques; comunicacions quàntiques (criptografia quàntica, etc.)*
- *Atrapament i refredament d'àtoms, condensació de Bose-Einstein (BEC)*
- **Sensors: de presència, posició, vibració i moviment. Lectors de codis, etc.**
- **Metrologia: mesura de distàncies, angles, relleus,... Velocitat llum, ones gravitacionals,**
- **Òptica integrada, integració amb micro-electrònica (computació, etc.). Micro- i nano-làsers.**
- **Nanolàsers i single-atom lasers per a informació quàntica, ...**

Gran
Mitjana
Petita

50 aniv. Làser 2

Simple combinations: 1 photoemitter + 1 photodetector

UCE-2010

*The simple combination of **one photoemitter + one photodetector** can result in simple (or not so simple, as sometimes good mechanics and/or electronics are needed) devices which can be very useful for applications in **control, inspection, metrology, and sensors** in general. For instance, for the following applications:*

- **Presence detection, optical barriers, alignment:**
Based on rectilinear propagation of light (and on the interruption of propagation by absorbing or reflecting objects. Small compact devices: optocouplers (face-to-face, reflective, with optical fiber, ...)...
- **Readers:** *bar-code readers, CD and DVD readers, ... (need a scanning system)*
- **Remote controllers:** *manual keyboard controllers for TV sets, etc. (How to discriminate against background light?)*
- **Distance (or displacement, or velocity) meters [metrology]:**
 - (a) *In transverse (or horizontal, or X, or Y) direction [linear, angular]*
 - (b) *In longitudinal (or in depth, or vertical, or Z) direction*
 - (c) *In transverse & longitudinal directions (2D and 3D) (more complex)*
- **Other types of systems –more complex-:** *other interferometric devices, spectroscopic devices, etc.*

} See next page



Distance meter in the transverse direction:

- Diameter or gap measurements by "light curtain" (gaging, laser micrometer)
Need a scanning system, and/or a CCD detector.



Several types of small devices, for different purposes
www.keyence.com



www.keyence.com

Laser micrometer (for gaging)



Distance meter in the transverse direction:

• **LASER DOPPLER VELOCIMETRY (OR ANEMOMETRY)**

For measuring velocities of particles in suspension in a fluid, moving in transverse direction

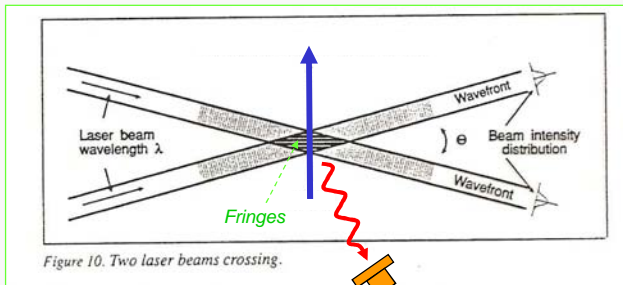


Figure 10. Two laser beams crossing.

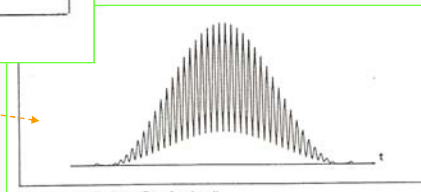


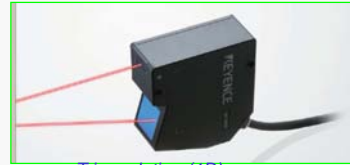
Figure 11. Doppler burst (Doppler signal).



Measuring distances in Z (longitudinal) direction, by **TRIANGULATION (1D)**



November 2009



www.keyence.com



Measuring distances in Z (longitudinal) direction, by **TRIANGULATION (1D)**

ABLE
ABLE intelligently controls the three elements of beam emission (laser, beam prism, and gain-CCD) and gain-CCD (ABLE Active Optical Laser control Engine).

LI-CCD
Demonstrates higher accuracy, speed, and sensitivity.

HIGH ACCURACY LENS UNIT
The high-accuracy lens unit integrated with the sensor head achieves highly accurate and highly stable measurements.

LK

PSD vs CCD Comparison:

- PSD:** True peak value. The PSD calculates the center of the light quantity distribution over the entire beam spot area.
- CCD:** Peak value. The CCD detects the peak value of the light quantity.

See previous transparency: Nov-2009: CMOS













www.keyence.com

50 aniv. Läser

7







TRIANGULATION (1D)

UCE-2010

 Measuring height of an air suspension vehicle	 Checking vehicle height	 Detecting the position of hot steel shafts	 Measuring the profile of a chip	 Measuring amplitude of a speaker cone	 Detecting the runout of a HDD
 Measuring the surface runout of a flywheel	 Measuring a valve stroke	 Detecting mis-located steel plates	 Measuring coplanarity of 4 pins on a connector	 Measuring the vibration of a motor shaft	 Measuring runout of a polygon mirror

TRIANGULATION (2D)

www.keyence.com

 Checking the assembly accuracy of an auto body	 Sealant bead length, width and area measurement	 Position feedback in an automated welding operation	 Measuring the step height/profile of a key	 Measuring the height/width of overlapping rubber	 Step height measurement of a mill end blade
---	--	--	---	--	--

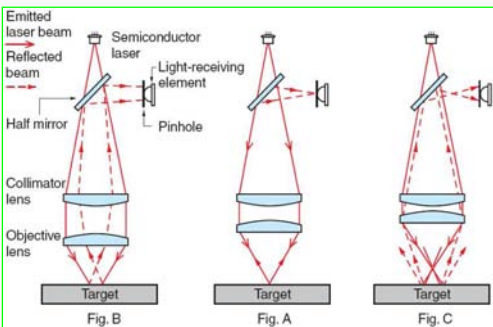
50 aniv. Läser

8

Some EXAMPLES of combinations of one photoemitter + one photodetector

UCE-2010

CONFOCAL IMAGING PROFILER (3D)




Emitted laser beam
Reflected beam
Half mirror
Collimator lens
Objective lens
Target

Semiconductor laser
Light-receiving element
Pinhole

Fig. B Fig. A Fig. C

Surface Scanning Laser Confocal Displacement Meter
LT-9000 Series

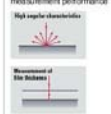


- Surface scanning method for a variety of high accuracy measurements
- Multiple measurement modes
- 0.01 μm (0.0004 Mil) resolution is 10 times higher than conventional models

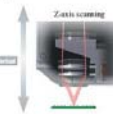
Excellent resolution of 0.0004 Mil (0.01 μm) for high-accuracy applications
The coaxial optical system improves measurement performance

New wide scanning feature increases measurement stability and versatility
Wide scanning enables various measurements

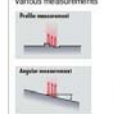
High angle characteristic



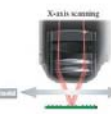
Z-axis scanning



Radial measurement



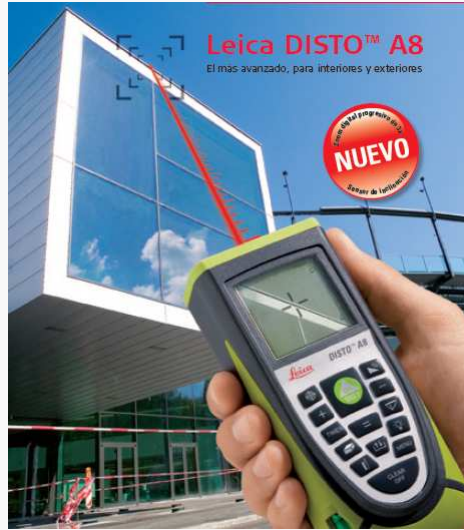
X-axis scanning



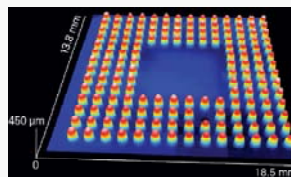
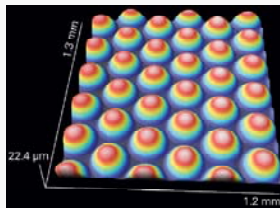
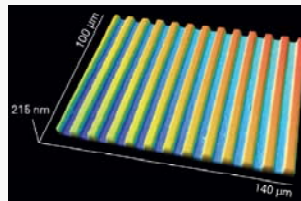
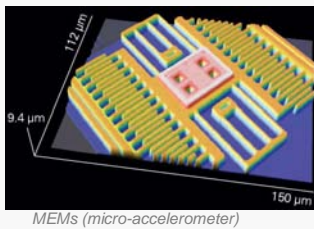
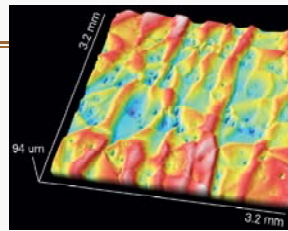
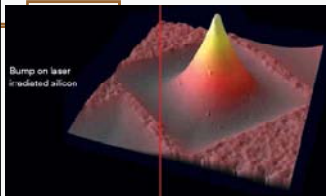
Measurement of the thickness

Confocal profiling provides the highest lateral resolution that may be achieved by an optical profiler. This makes it possible to reduce the spatial sampling to 0.10 μm, which is ideal for critical dimension measurements.

www.keyence.com



NUEVO
Láser de longitud de onda roja
Láser de longitud de onda roja



OPTICAL IMAGING PROFILER (3D):
Confocal
+
interferometer (PSI+VSI)



Confocal + Interferometer (3D)



3D white-light Vertical Scanning Interferometry (VSI)

Measurement of a MEMS piezoelectric pressure sensor, by the VSI

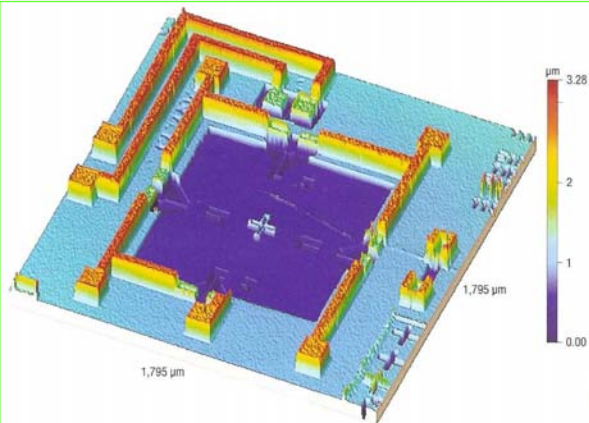
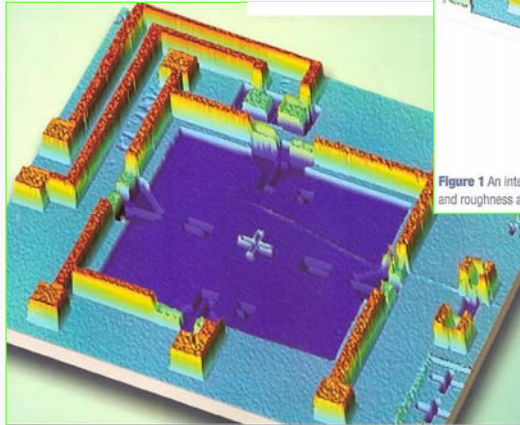
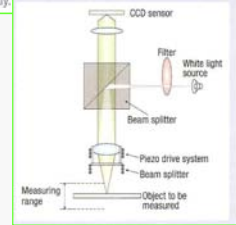


Figure 1 An interferometry measurement of a MEMS piezoelectric pressure sensor. Typically both the step height and roughness are of interest to ensure that the device works correctly.

Taylor Hobson
(Ametek, UK)



No sols a curtes distàncies:

- *Arquitectes:*

*mesura ràpida de distàncies,
escanejat 3-D d'edificis...*

- *etc.*

*Estudi sobre la Sagrada Família
J. Regot et al., 2006
(Escola d'Arquitectura, Univ. de Barcelona)*



LIDAR (measuring distances, controlling atmosphere pollution, etc.



A FASOR used at the Starfire Optical Range for LIDAR and laser guide star experiments is tuned to the sodium D2a line and used to excite sodium atoms in the upper atmosphere

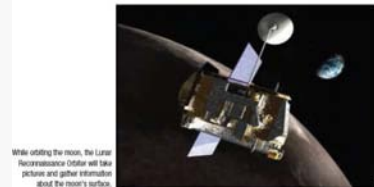


Chet Gardner, Univ. of Illinois

Also on earth, mobile (with a van), to measure air pollution near a factory, etc.)



The lidar operating at Davis with an aurora in the background. Photo: David Correll



While orbiting the moon, the Lunar Reconnaissance Orbiter will take pictures and gather information about the moon's surface

Simple combinations:

1 photoemitter + 1 photodetector



The simple combination of one photoemitter + one photodetector can result in simple (or not so simple, as sometimes good mechanics and/or electronics are needed) devices which can be very useful for applications in control, inspection, metrology, and sensors in general. For instance, for the following applications:

- Presence detection, optical barriers, alignment:

Based on rectilinear propagation of light (and on the interruption of propagation by absorbing or reflecting objects. Small compact devices: optocouplers (face-to-face, reflective, with optical fiber, ...)...

- Readers: bar-code readers, CD and DVD readers, ... (need a scanning system)

- Remote controllers: manual keyboard controllers for TV sets, etc. (How to discriminate against background light?)

- Distance (or displacement, or velocity) meters [metrology] :

- (a) In transverse (or horizontal, or X, or Y) direction [linear, angular]
- (b) In longitudinal (or in depth, or vertical, or Z) direction
- (c) In transverse & longitudinal directions (2D and 3D) (more complex)

} See next page

- (Other types of systems –more complex-): other interferometric devices, spectroscopic devices, etc.



Some EXAMPLES of combinations of
1 photoem. + 1 photodet. :
Spectroscopic devices

UCE-2010

Simple device to measure the % of oxigenation of blood:

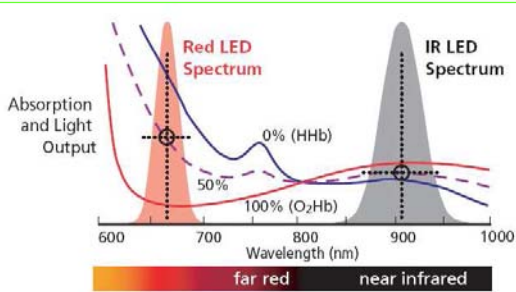


Figure 1
Overlay of typical LED-emitted light spectrum and relative light absorption spectra of oxygenated and deoxygenated hemoglobin. The dashed purple line indicates the spectra of 50%-saturated blood, with the relative absorbance in the red and IR indicated by the black circles.

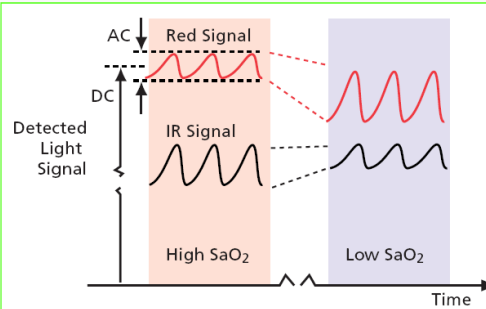


Figure 2
Red and IR light signals at high and low arterial oxygen saturation. At high saturation, the red "pulse amplitude" (AC/DC) is smaller than in the IR. At low saturation, the ratio of relative amplitudes is reversed.

A Technology Overview of the Nellcor® OxiMax® Pulse Oximetry System

Nellcor Technical Staff



Làsers: Aplicacions científiques i tècniques

UCE-2010

POTÈNCIA

Gran

- Fusió nuclear
- Làser d'electrons lliures, làser de raigs X
- Làsers de Terawatt: generació d'altres freqüències i de polsos ultra-curts (atto-segons), aplicacions a Física Atòmica i Nuclear, acceleració de partícules.
- Transport d'energia a distància (futur)
- Aplics. militars
- Processat de materials: tall, soldadura, perforació, marcatge, tractaments de superfície, prototipat 3D (100 nm resol amb femtosecond 2-photon), ...
- Espectacles lluminosos
- Fotoquímica: estimulació i control de reaccions químiques (fins i tot unir àtoms freds), foto-dissociació, foto-ionització, ...
- Òptica no lineal, per a diverses aplicacions (incloent la generació de extrem UV -13.5 nm- per a dissenyar petites estruct. electròniques i estendre Moore's law, informació quàntica,...)
- Biofotònica, aplicacions mèdiques
- Control remot: LIDAR, control de l'atmosfera
- Arts gràfiques, impressores, memòries (CD, DVD),... [Futur: imatges color i projectors, il·lum.]
- Holografia, interferometria, Òptica en general (futurs displays, projectors?)
- Espectroscòpia: anàlisi de materials, de contaminants, etc.

Mitjana

- Comunicacions òptiques; comunicacions quàntiques (criptografia quàntica, etc.)
- Atrapament i refredament d'àtoms, condensació de Bose-Einstein (BEC)
- Sensors: de presència, posició, vibració i moviment. Lectors de codis, etc.
- Metrologia: mesura de distàncies, angles, relleus,... Velocitat llum, ones gravitacionals,

Petita

- Òptica integrada, integració amb micro-electrònica (computació, etc.). Micro- i nano-làsers
- Nanolàsers i single-atom lasers per a informació quàntica, ...

Photonic circuits: the dream.....



- These optical circuits should provide active functions for all-optical information processing.
- These optical circuits should be able to perfectly control the propagation of the light
 - use of nonlinear optics
 - sub- λ structures: photonic crystals

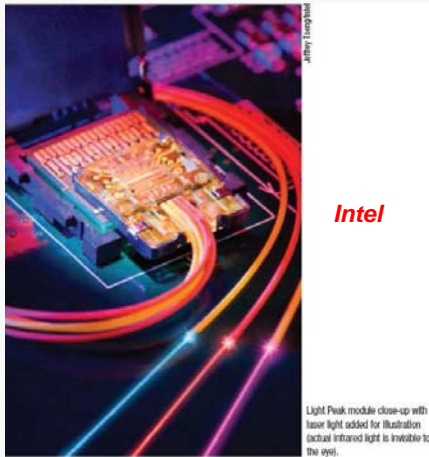
Tunable filters, amplification, frequency conversion,.....

laser μ -sources
change the propagation direction
resonators

1 μ m

<http://ab-initio.mit.edu/photons/micropolis.html>

Integrated photonics



Future: Si photonics ?



Futur ...?

- *Millora eficiències, en tots tipus de làsers i aplicacions*
- *Micro- i nano-lasers: sensors, integració electrònica-fotònica, computació, comunicacions*
- *Més progrés en biofotònica (aplics. en biologia i medicina)*
- *Imatge, projecció*
- *Comunicacions a l'espai, a molt llarga distància*
- *"Power beaming"*
- *Fusió nuclear controlada?*
- *Informació quàntica? (criptografia, simulació, computació, teleportació,...)*
- *???*